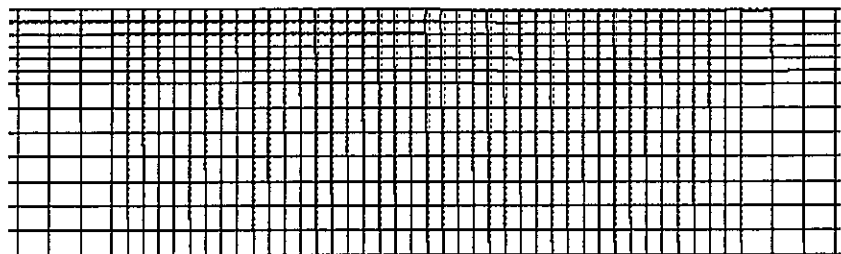
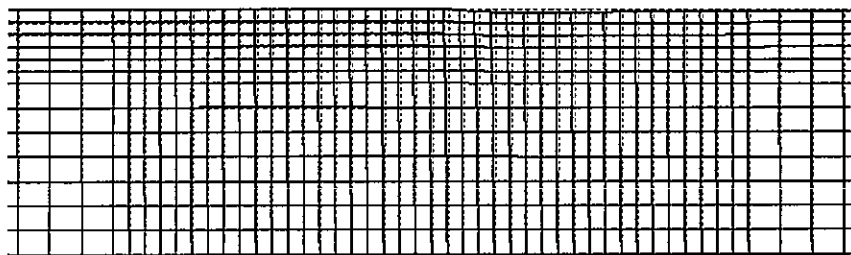


付録 A3 分布荷重モデルの地盤変形図(盛土高さを変化)

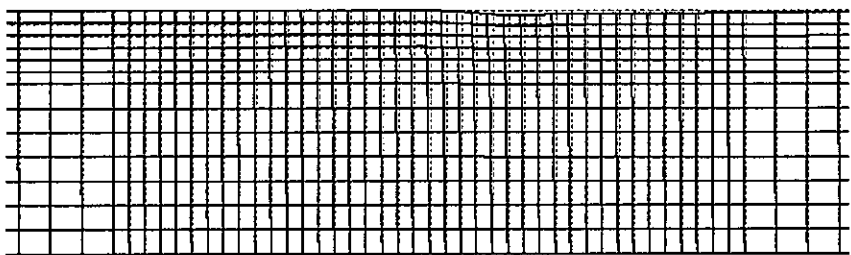
本文対応箇所 : 3.6 関口・太田の弾塑性モデルによる二次元圧密変形解析 (その3)
解析ケース : ex36g-h25, ex36g-h30, ex36g-h35, ex36g-h45, ex36g-h50



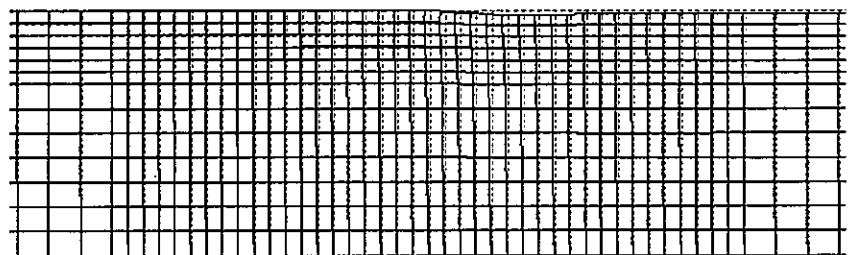
(a) 20day (H=2m)



(b) 30day (放置 5day 後)

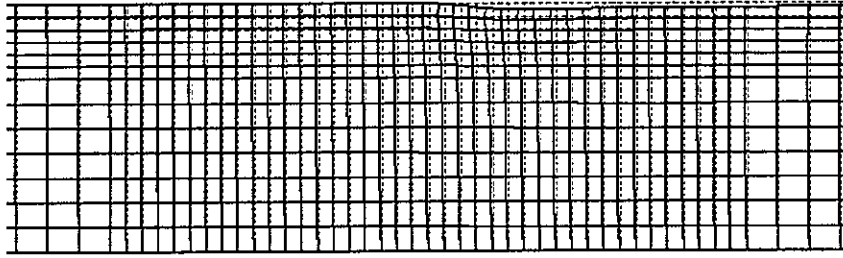


(c) 40day (放置 15day 後)

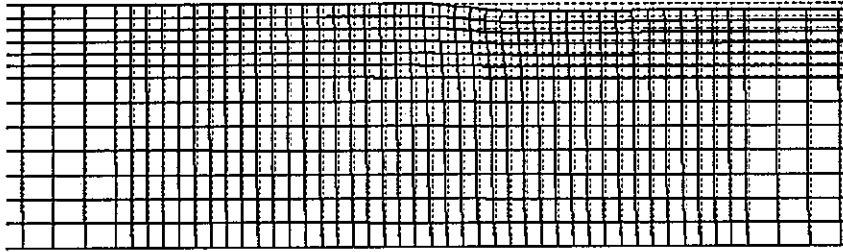


(d) 50day (放置 25day 後)

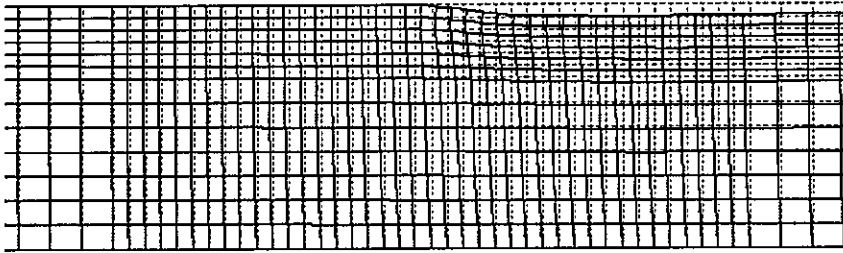
付録図-A3.1 ex36g-h25 : 盛土高さ H=2.5m



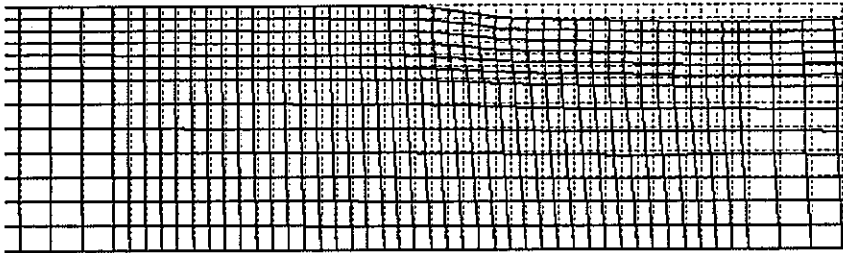
(e) 100day (放置75day後)



(f) 300day (放置275day後)

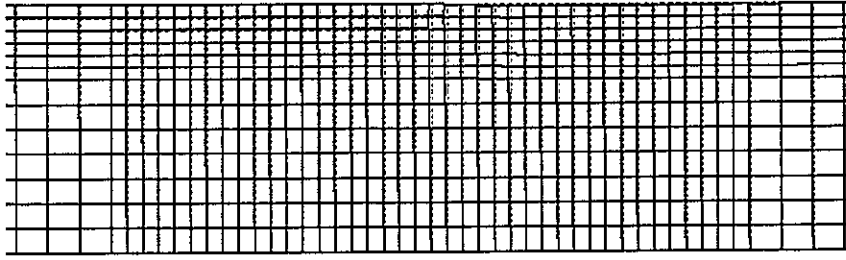


(g) 1000day

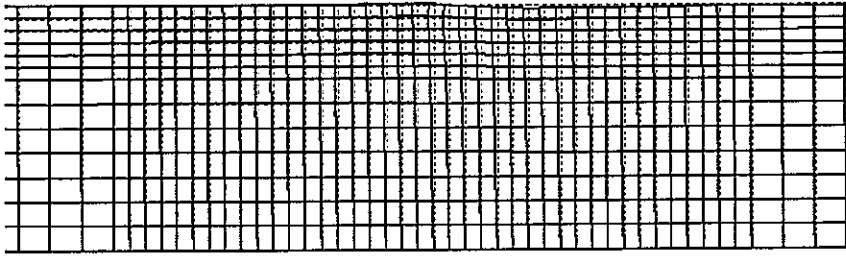


(h) 5000day

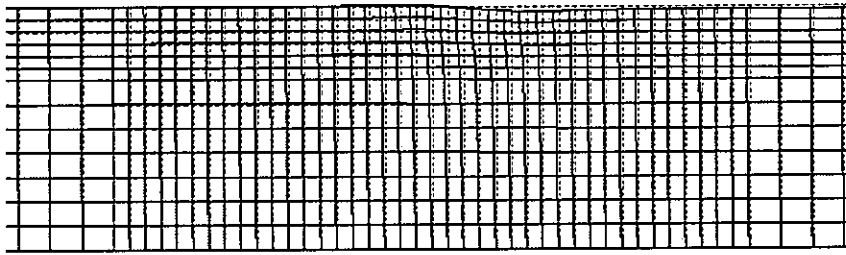
付録図-A3.1 ex36g-h25 : 盛土高さ H=2.5m



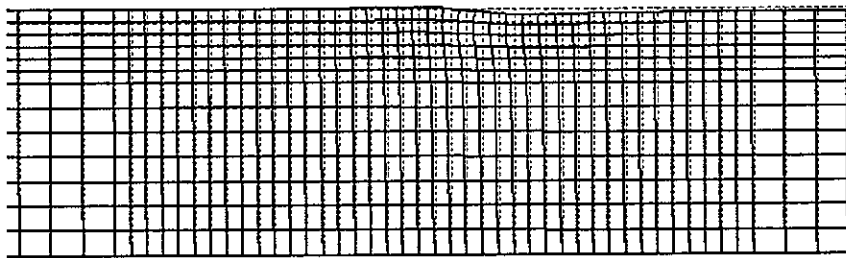
(a) 20day (H=2m)



(b) 30day (H=3m)

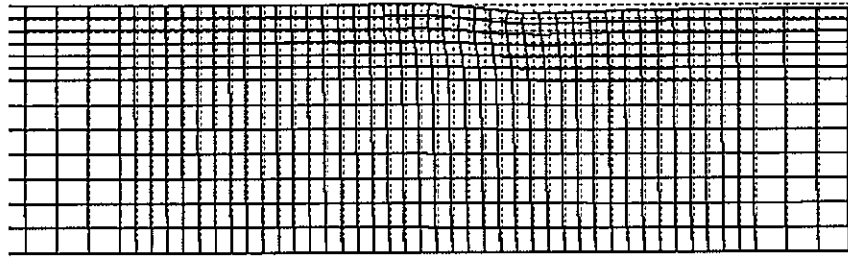


(c) 40day (放置 10day 後)

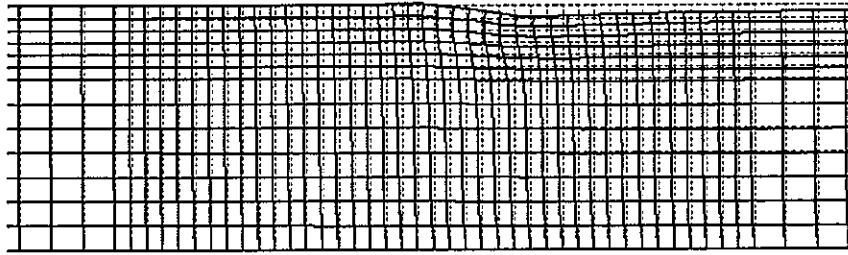


(d) 50day (放置 20day 後)

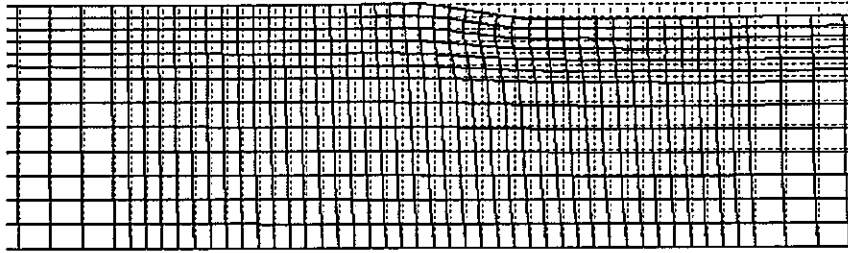
付録図-A3.2 ex36g-h30 : 盛土高さ H=3.0m



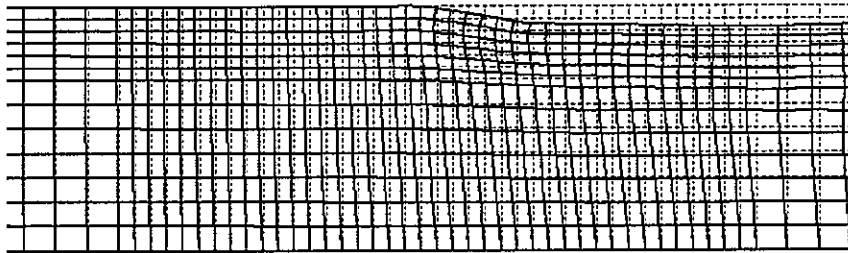
(e) 100day (放置 70day 後)



(f) 300day (放置 270day 後)



(g) 1000day



(h) 5000day

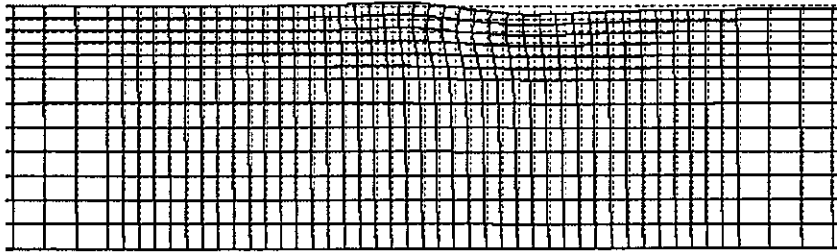
付録図-A3.2 ex36g-h30 : 盛土高さ H=3.0m



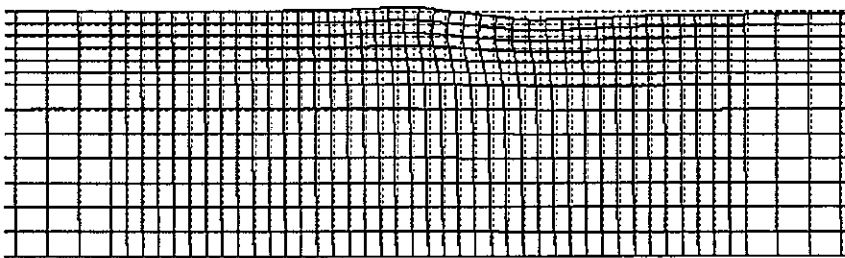
(a) 20day (H=2m)



(b) 30day (H=3m)

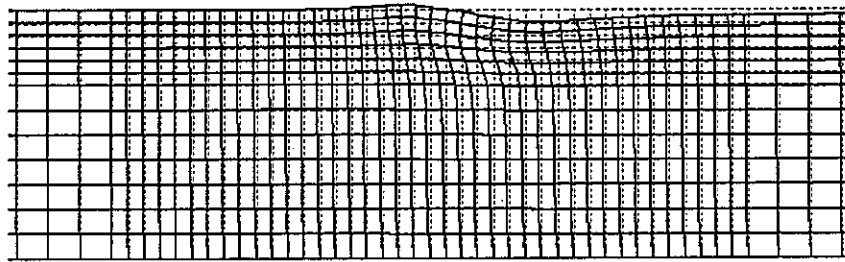


(c) 40day (放置 5day 後)

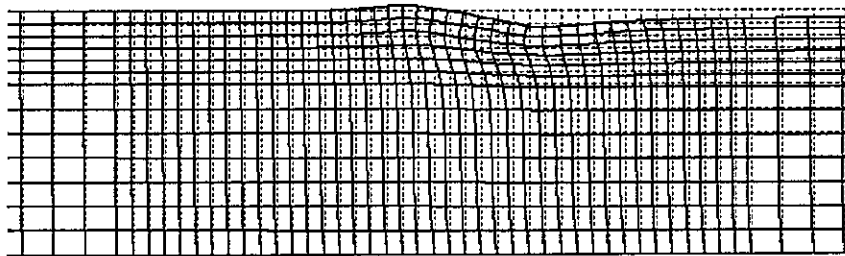


(d) 50day (放置 15day 後)

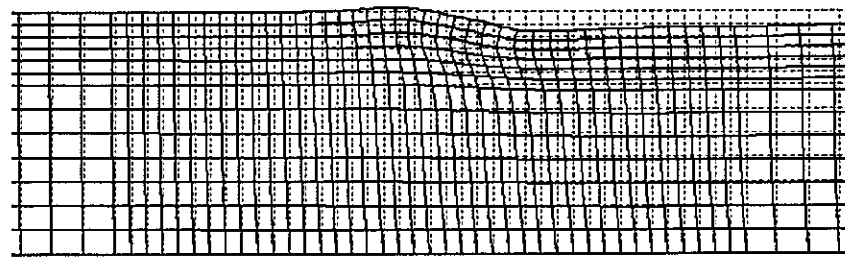
付録図-A3.3 ex36g-h35 : 盛土高さ H=3.5m



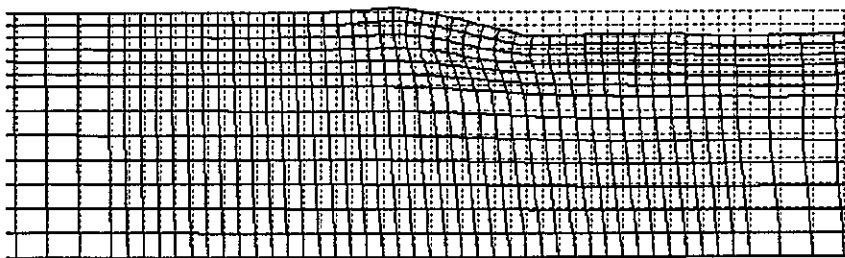
(e) 100day (放置 65day 後)



(f) 300day (放置 265day 後)

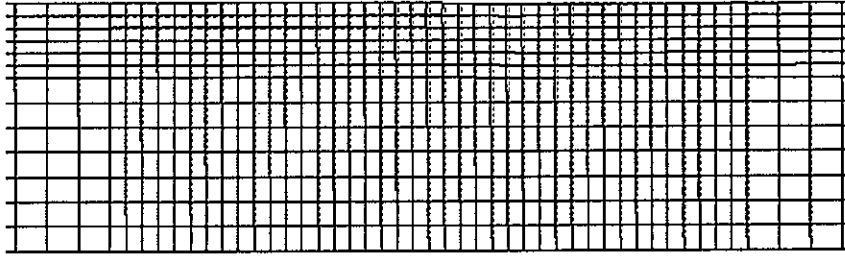


(g) 1000day

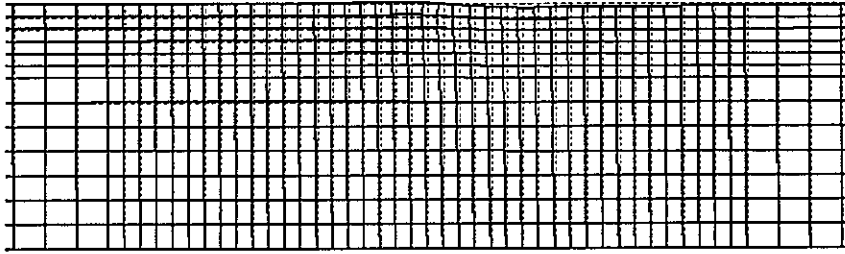


(h) 5000day

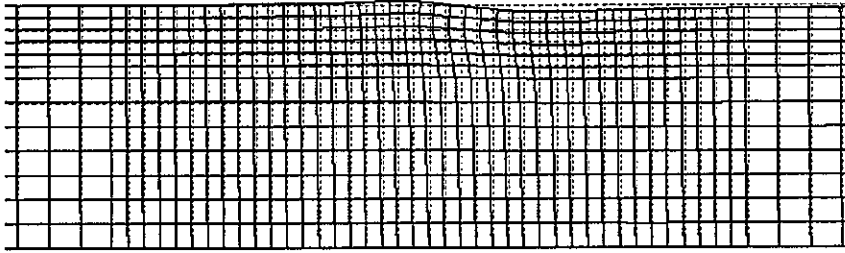
付録図-A3.3 ex36g-h35 : 盛土高さ H=3.5m



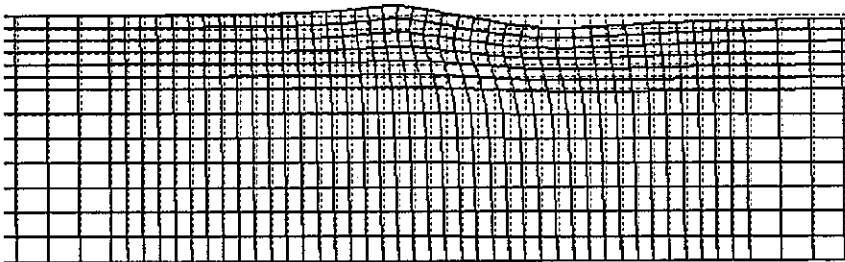
(a) 20day (H=2m)



(b) 30day (H=3m)

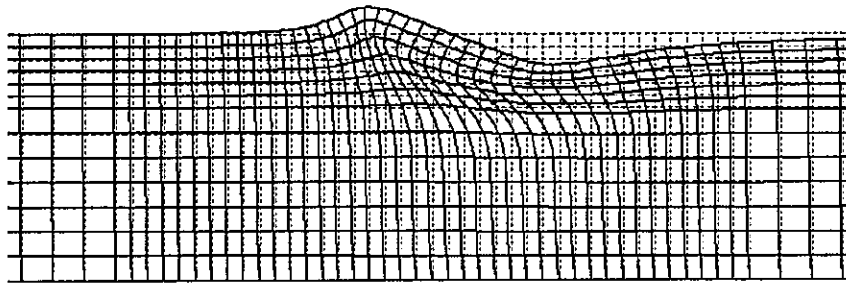


(c) 40day (H=4m)

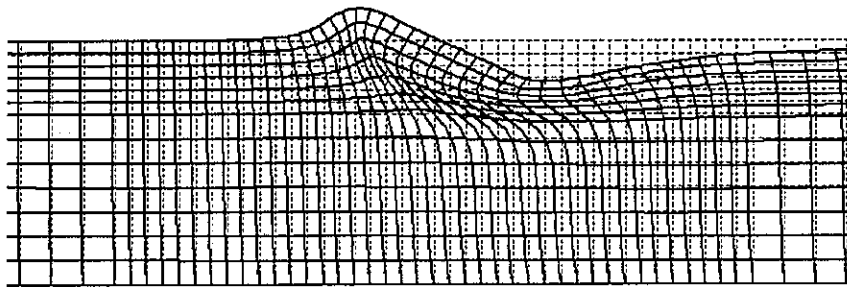


(d) 50day (放置 5day 後)

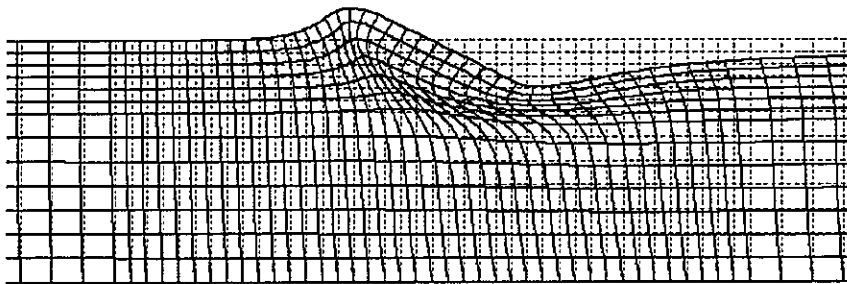
付録図-A3.4 ex36g-h45 : 盛土高さ H=4.5m



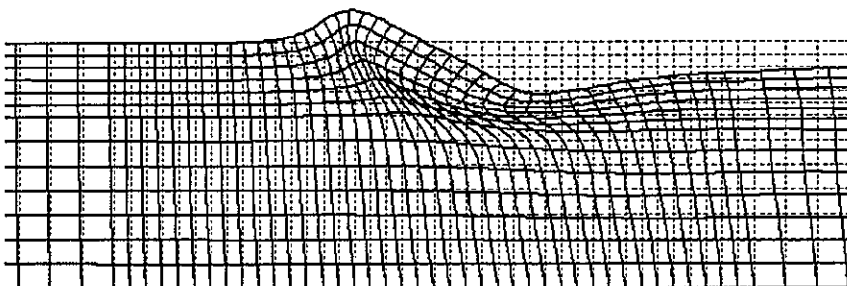
(e) 100day (放置 55day 後)



(f) 300day (放置 255day 後)



(g) 1000day



(h) 5000day

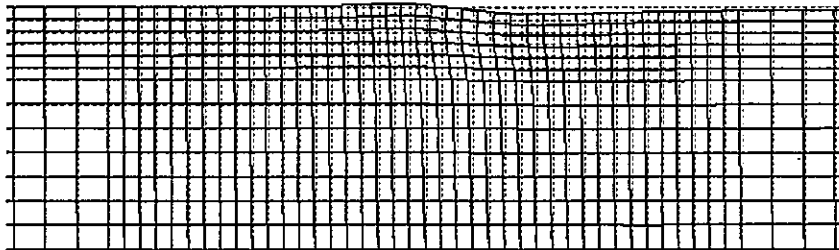
付録図-A3.4 ex36g-h45 : 盛土高さ H=4.5m



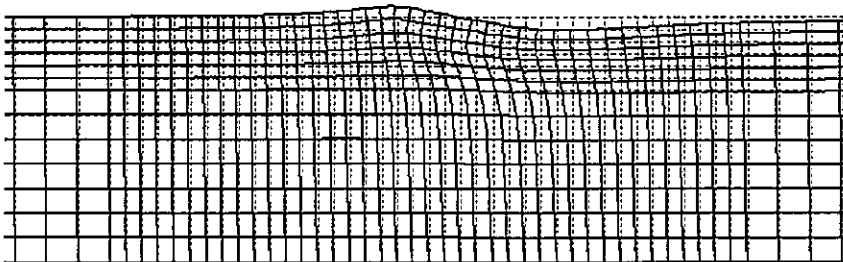
(a) 20day (H=2m)



(b) 30day (H=3m)

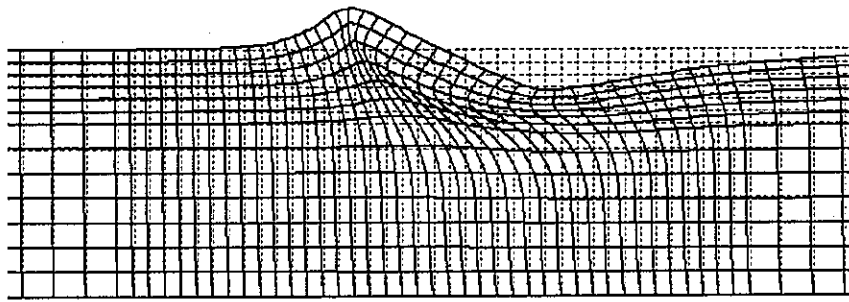


(c) 40day (H=4m)

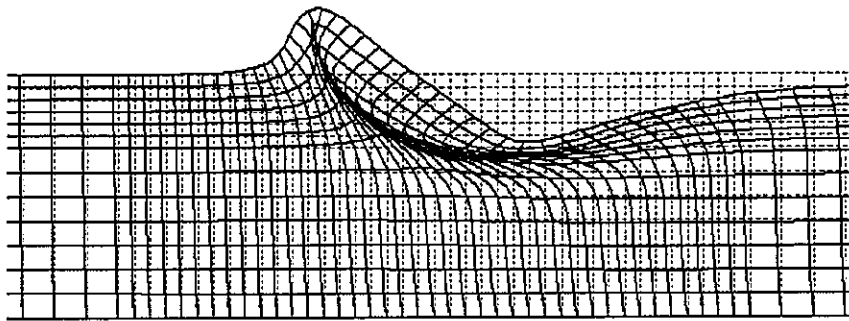


(d) 50day (H=5m)

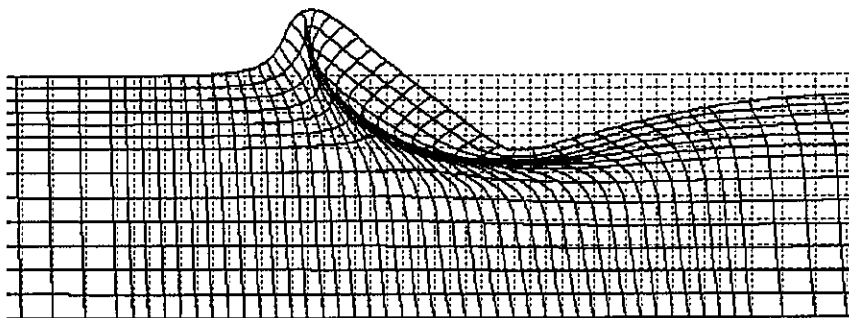
付録図-A3.5 ex36g-h50 : 盛土高さ H=5.0m



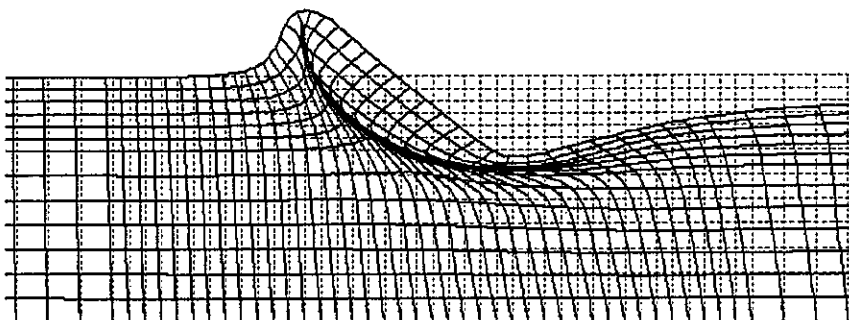
(e) 100day (放置 50day 後)



(f) 300day (放置 250day 後)



(g) 1000day



(h) 5000day

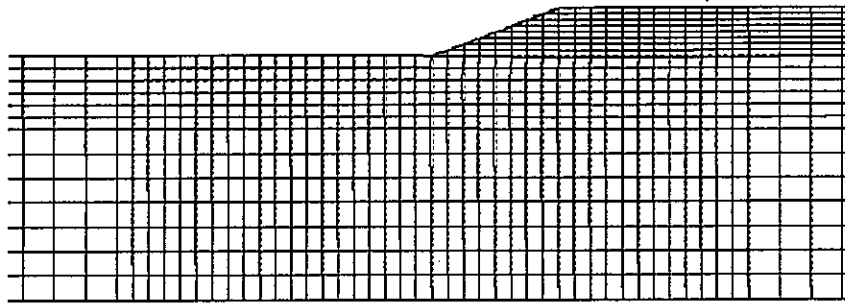
付録図-A3.5 ex36g-h50 : 盛土高さ H=5.0m

付録 A4 要素荷重モデルの地盤変形図(盛土の弾性係数を変化)

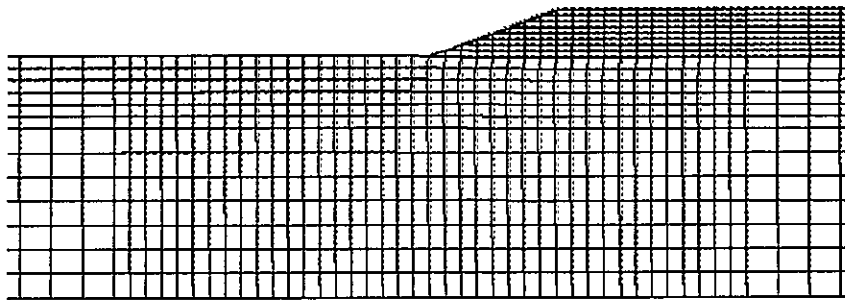
本文対応箇所 : 3.6 関口・太田の弾塑性モデルによる二次元圧密変形解析 (その3)

解析モデル : 図-3.62, 表-3.29, 表-3.22

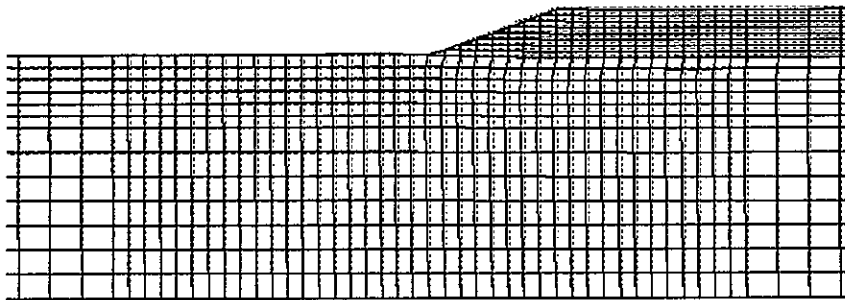
解析ケース : ex36g-e50, ex36g-e100, ex36g-e500, ex36g-e1000, ex36g-e2500, ex36g-e5000



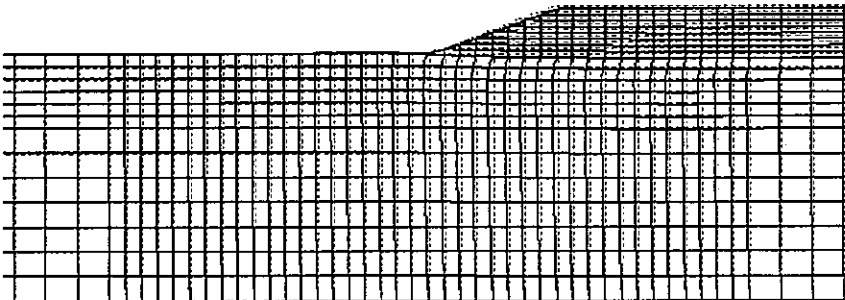
(a) 20day (H=2m)



(b) 30day (H=3m)

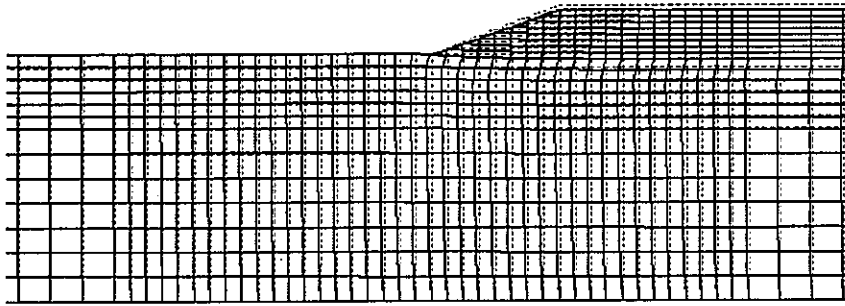


(c) 40day (H=4m)

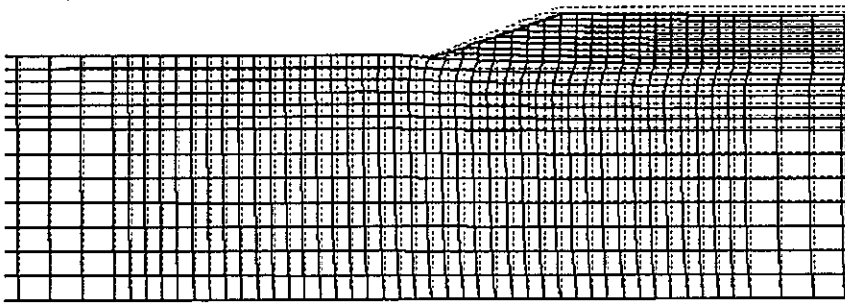


(d) 50day (放置 10day 後)

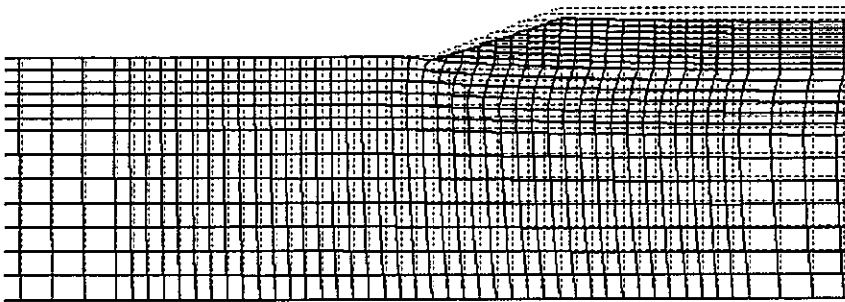
付録図-A4.1 ex36g-e5000 : 盛土の弾性係数 $E_s=5000\text{tf/m}^2$



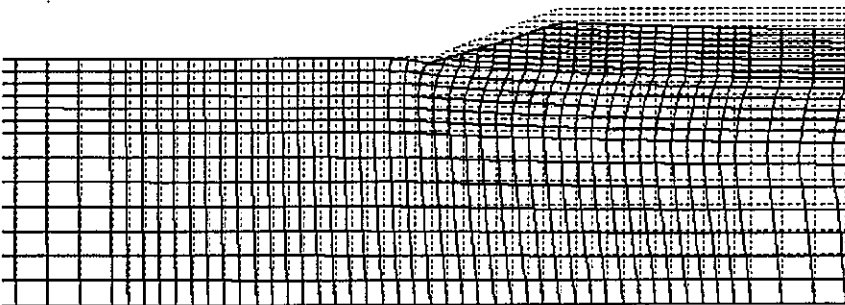
(e) 100day (放置 60day 後)



(f) 300day (放置 260day 後)

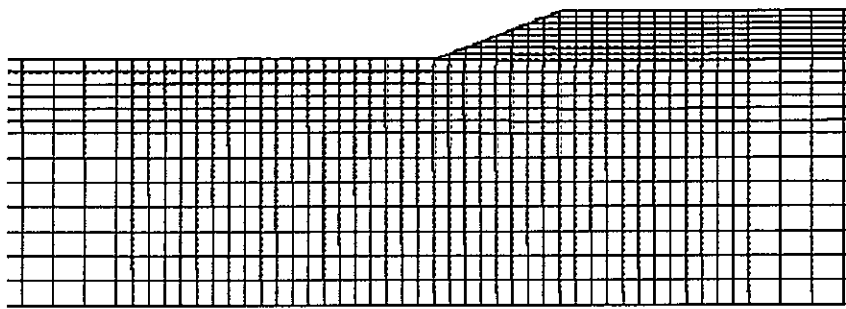


(g) 1000day

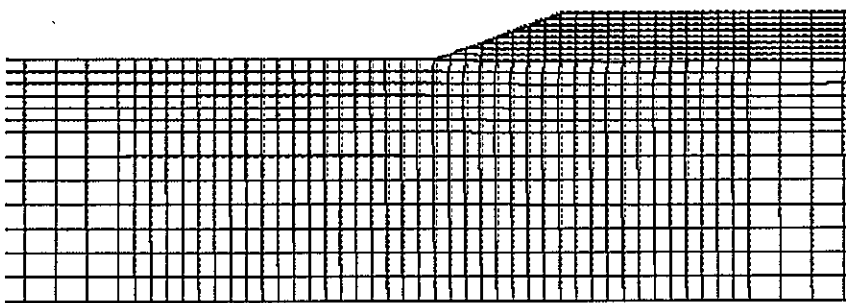


(h) 5000day

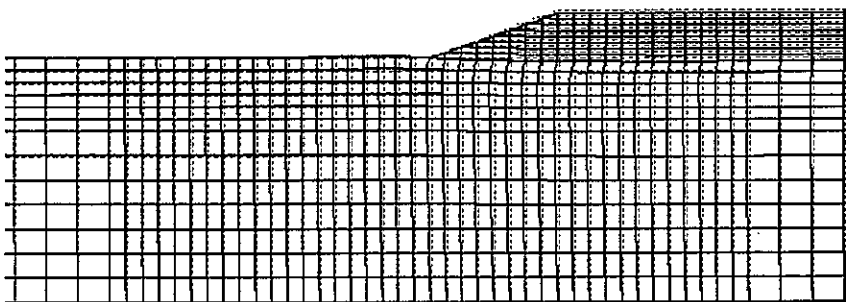
付録図-A4.1 ex36g-e5000 : 盛土の弾性係数 $E_s=5000\text{tf/m}^2$



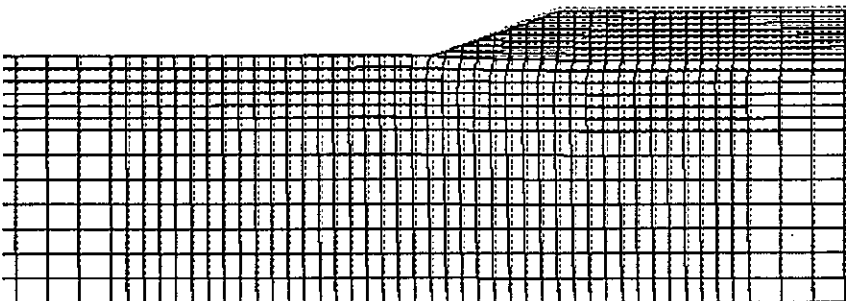
(a) 20day (H=2m)



(b) 30day (H=3m)

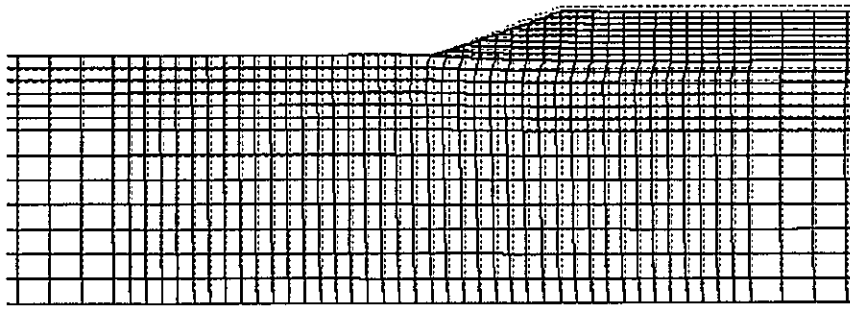


(c) 40day (H=4m)

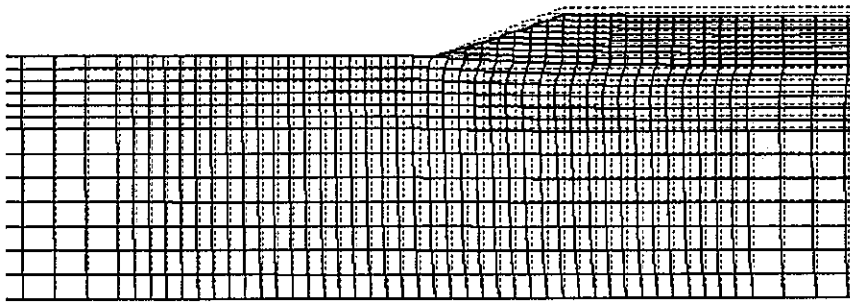


(d) 50day (放置 10day 後)

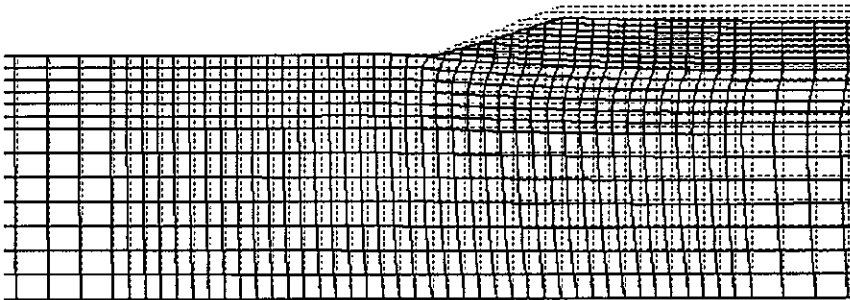
付録図-A4.2 ex36g-e2500 : 盛土の弾性係数 $E_s=2500\text{tf/m}^2$



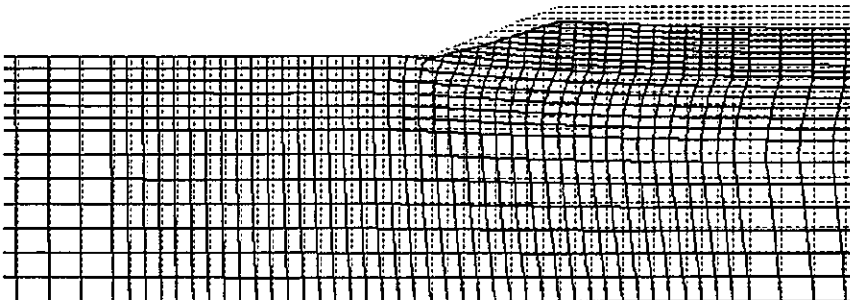
(e) 100day (放置 60day 後)



(f) 300day (放置 260day 後)

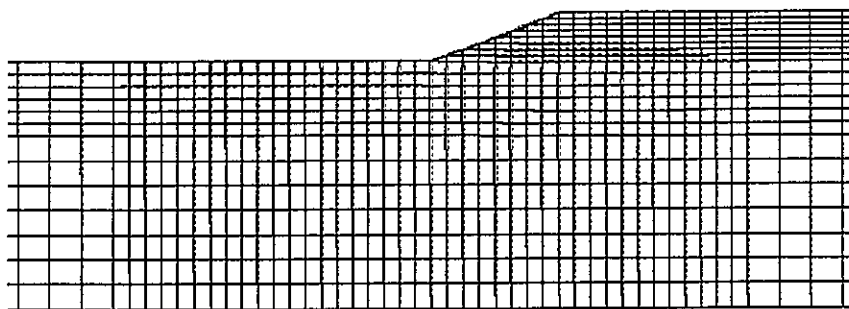


(g) 1000day

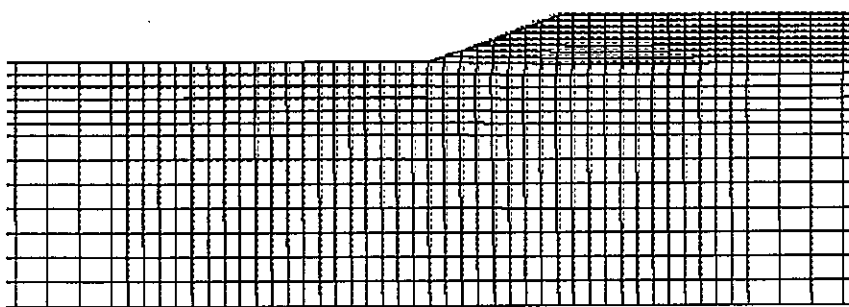


(h) 5000day

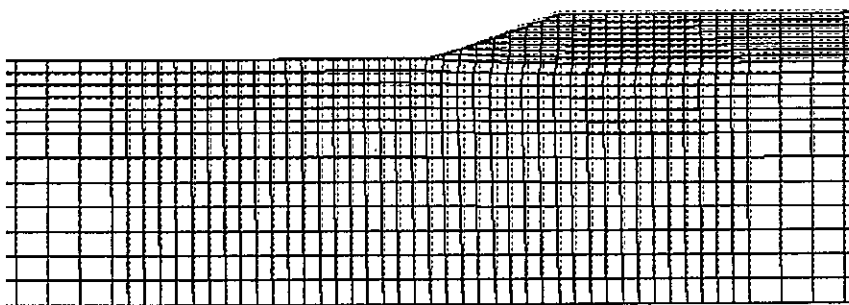
付録図-A4.2 ex36g-e2500 : 盛土の弾性係数 $E_s=2500\text{tf/m}^2$



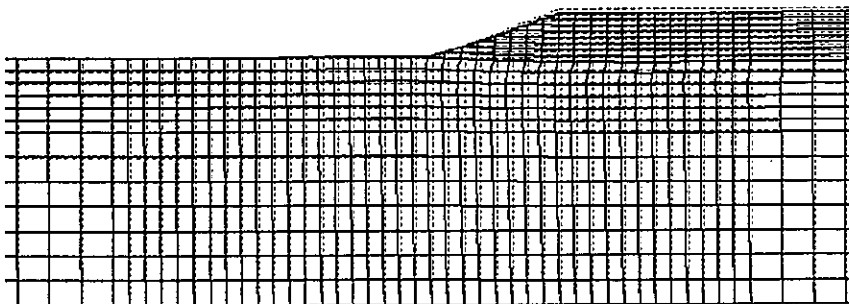
(a) 20day (H=2m)



(b) 30day (H=3m)

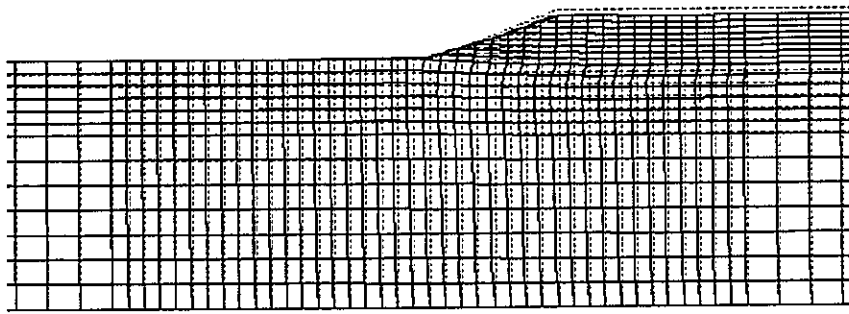


(c) 40day (H=4m)

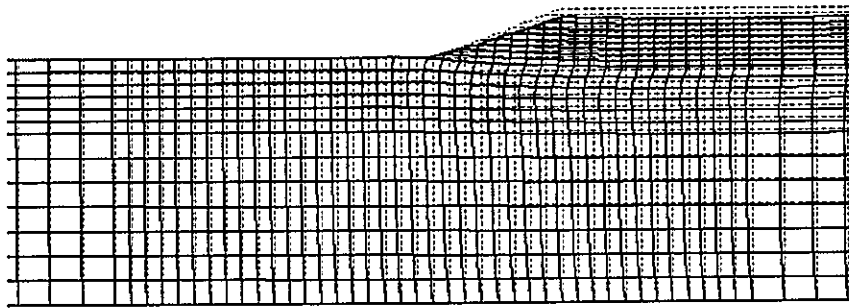


(d) 50day (放置 10day 後)

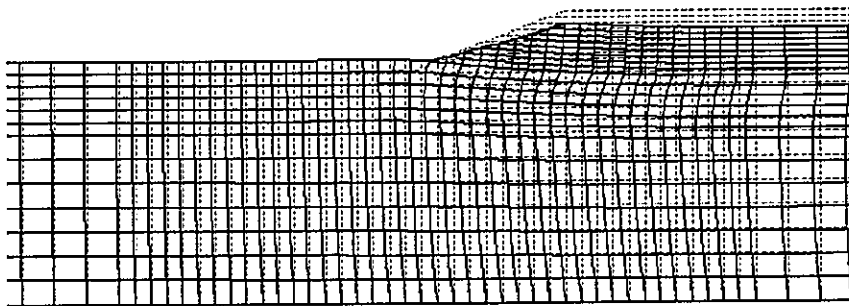
付録図-A4.3 ex36g-e1000 : 盛土の弾性係数 $E_s=1000\text{tf/m}^2$



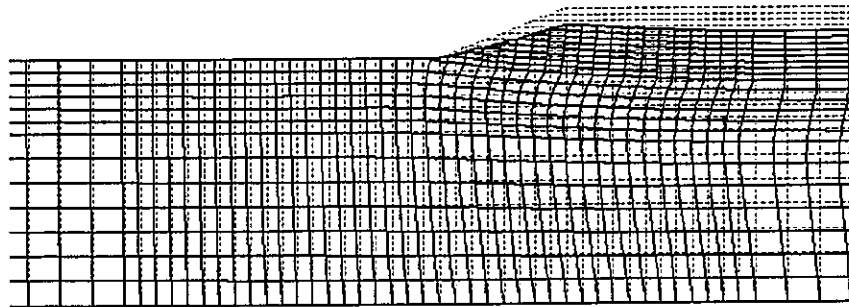
(e) 100day (放置 60day 後)



(f) 300day (放置 260day 後)

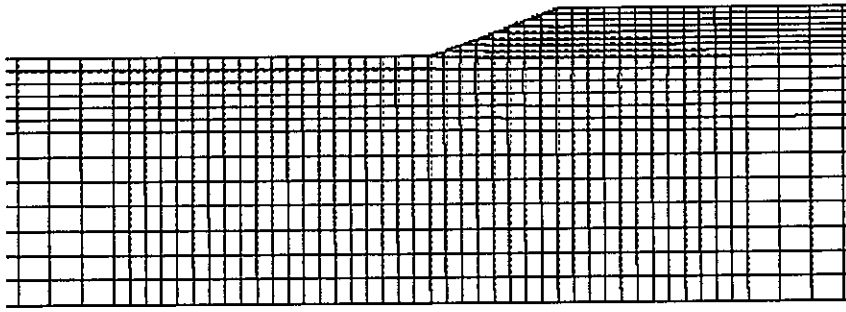


(g) 1000day

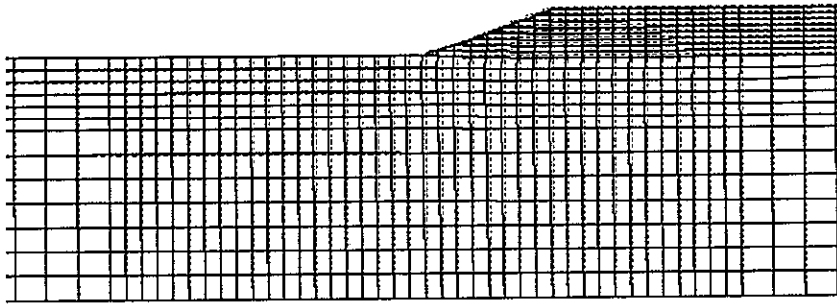


(h) 5000day

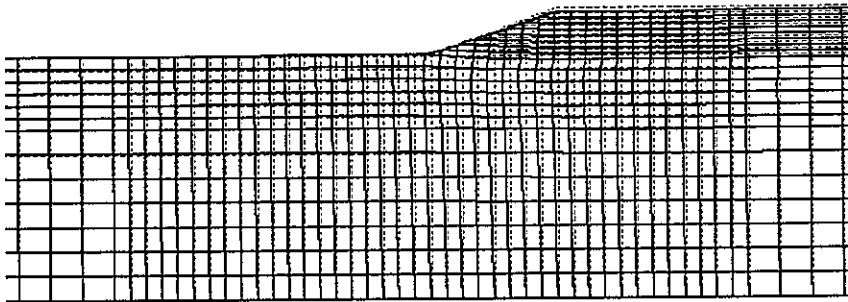
付録図-A4.3 ex36g-e1000 : 盛土の弾性係数 $E_s=1000\text{tf/m}^2$



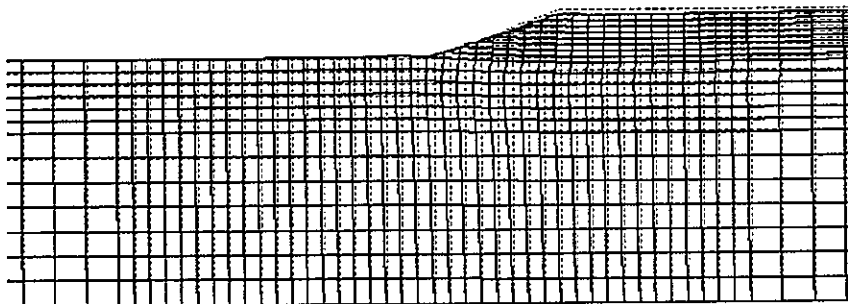
(a) 20day (H=2m)



(b) 30day (H=3m)

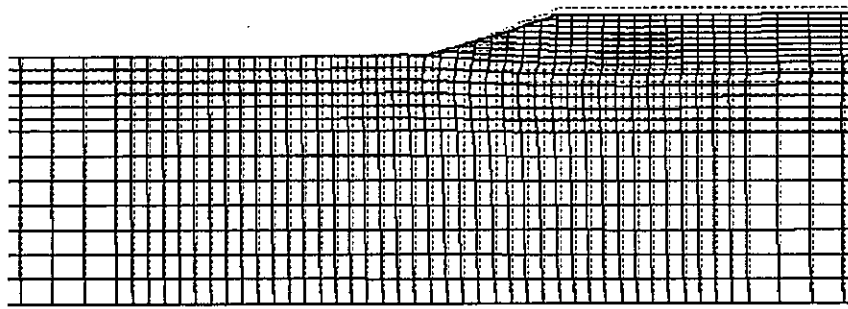


(c) 40day (H=4m)

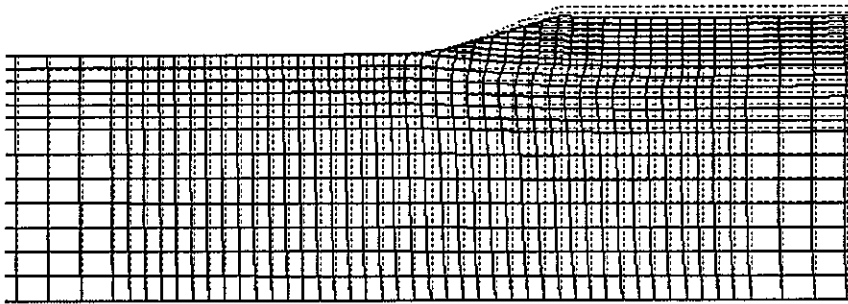


(d) 50day (放置 10day 後)

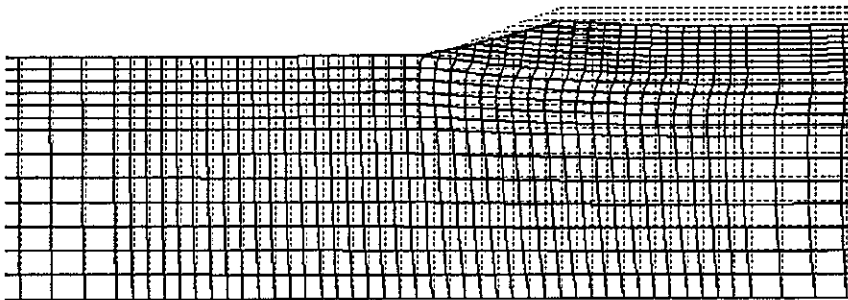
付録図-A4.4 ex36g-e500 : 盛土の弾性係数 $E_s=500\text{tf/m}^2$



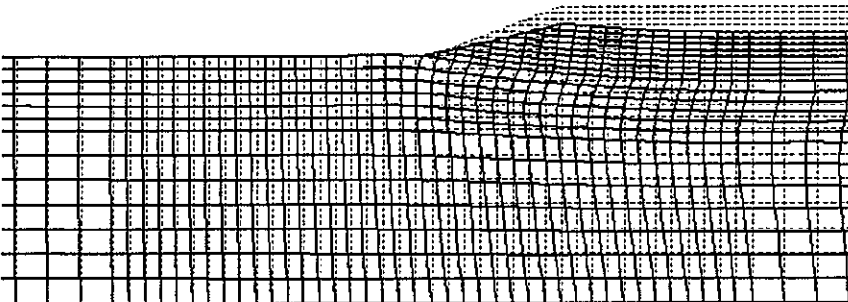
(e) 100day (放置 60day 後)



(f) 300day (放置 260day 後)

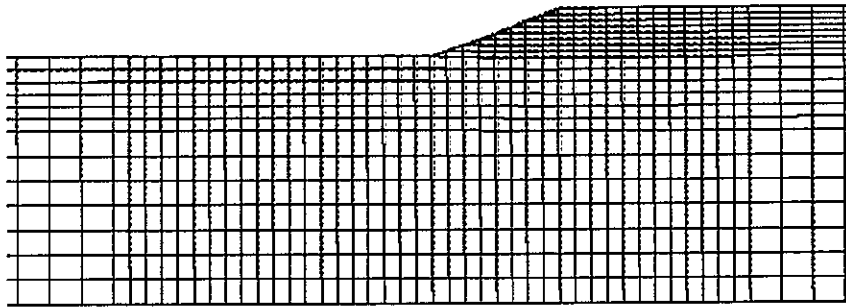


(g) 1000day

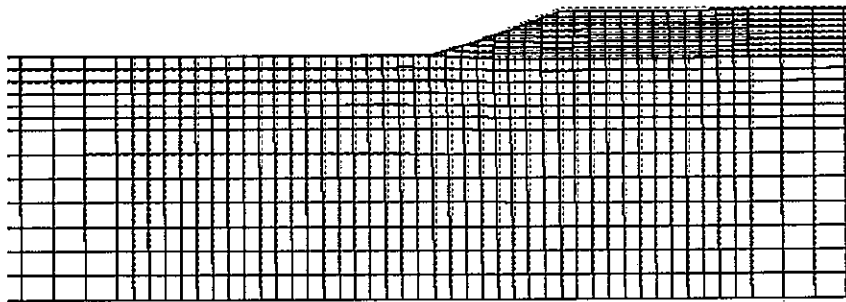


(h) 5000day

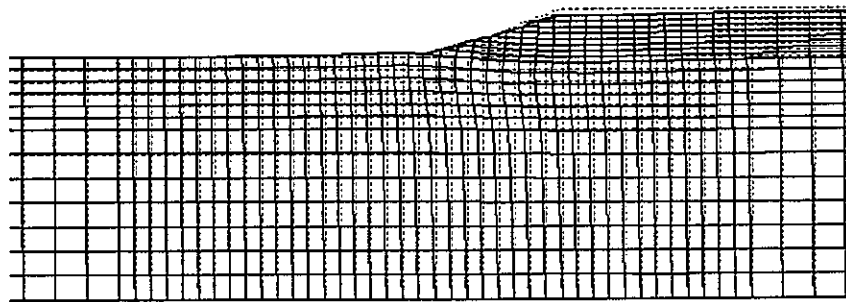
付録図-A4.4 ex36g-e500 : 盛土の弾性係数 $E_s=500\text{tf/m}^2$



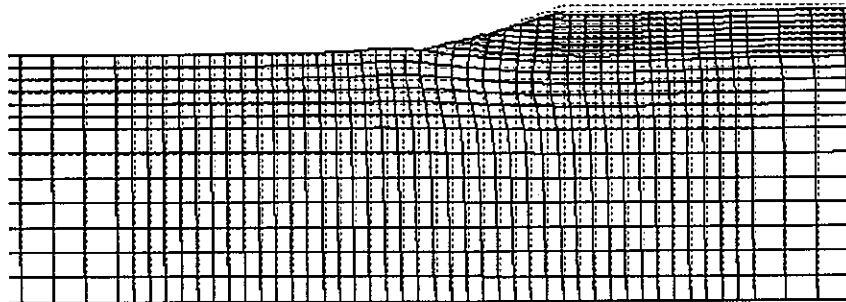
(a) 20day (H=2m)



(b) 30day (H=3m)

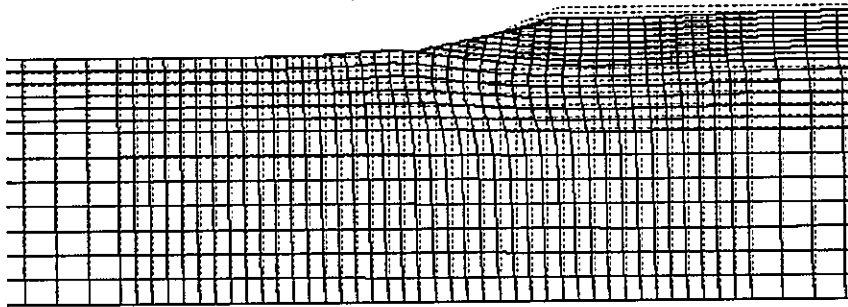


(c) 40day (H=4m)

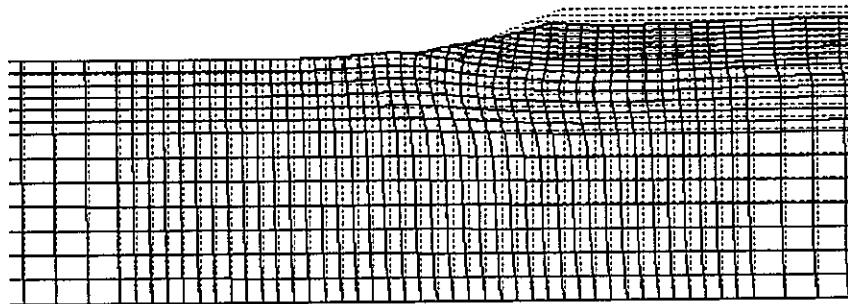


(d) 50day (放置 10day 後)

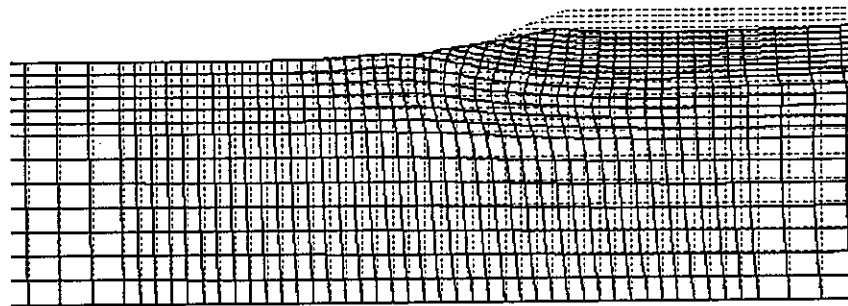
付録図-A4.5 ex36g-e100 : 盛土の弾性係数 $E_s=100\text{tf/m}^2$



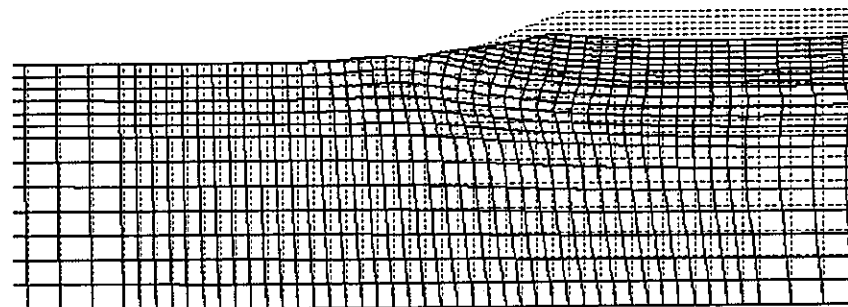
(e) 100day (放置 60day 後)



(f) 300day (放置 260day 後)

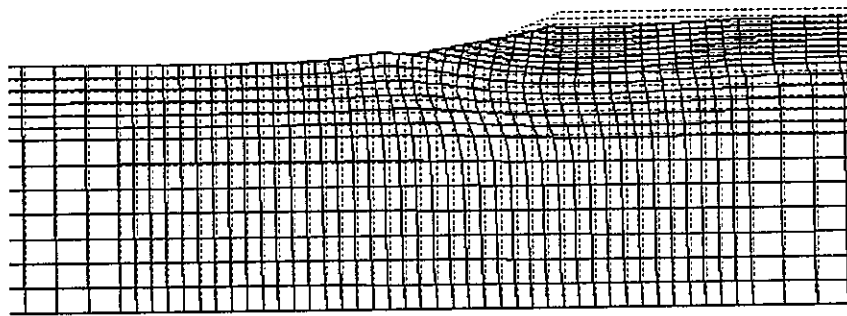


(g) 1000day

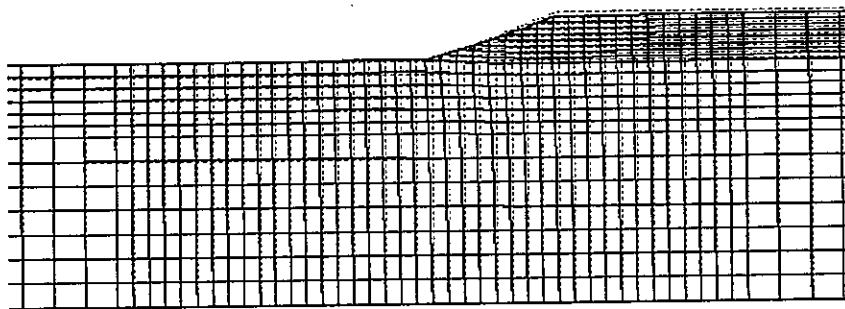


(h) 5000day

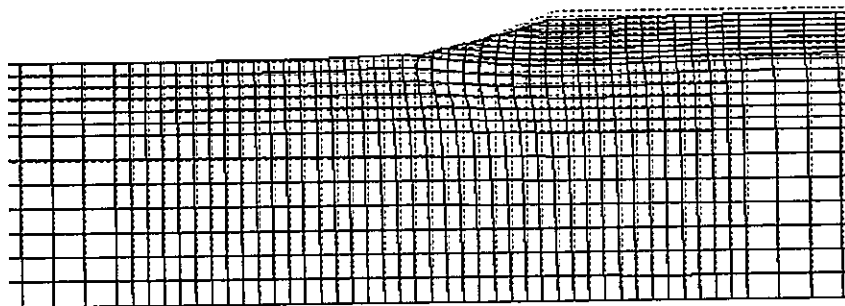
付録図-A4.5 ex36g-e100 : 盛土の弾性係数 $E_s=100\text{tf/m}^2$



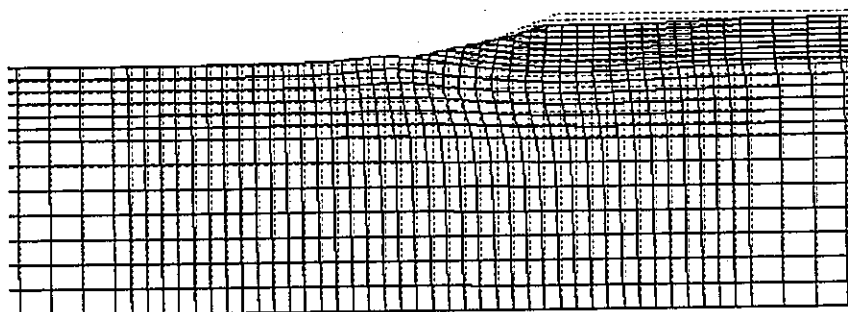
(a) 20day (H=2m)



(b) 30day (H=3m)

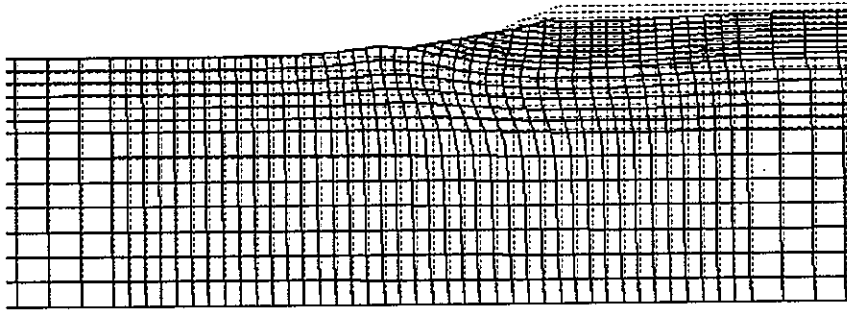


(c) 40day (H=4m)

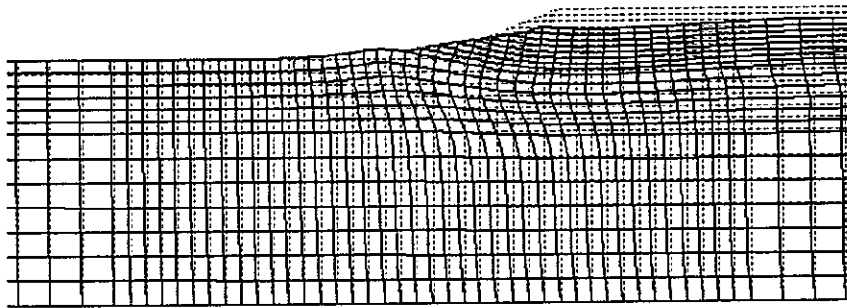


(d) 50day (放置 10day 後)

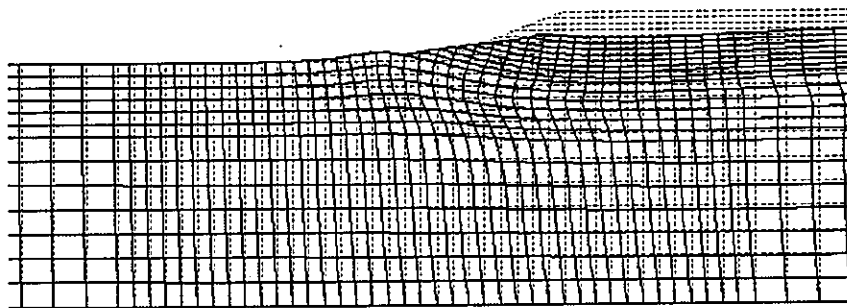
付録図-A4.6 ex36g-e50 : 盛土の弾性係数 $E_s=50\text{tf/m}^2$



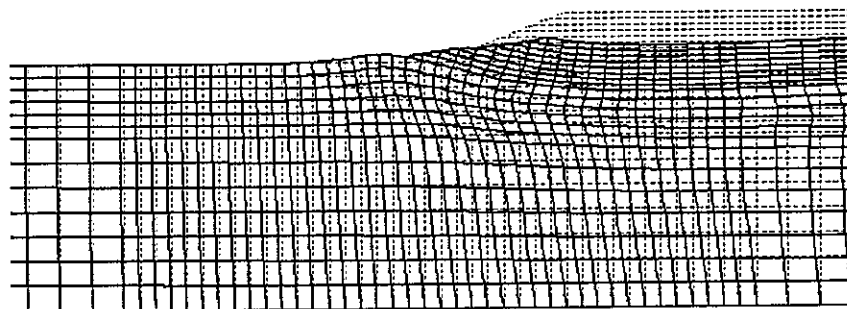
(e) 100day (放置 60day 後)



(f) 300day (放置 260day 後)



(g) 1000day



(h) 5000day

付録図-A4.6 ex36g-e50 : 盛土の弾性係数 $E_s=50\text{tf/m}^2$

付録 A5 支持力係数 N_c 算定モデルの塑性化領域図(メッシュ分割を変化)

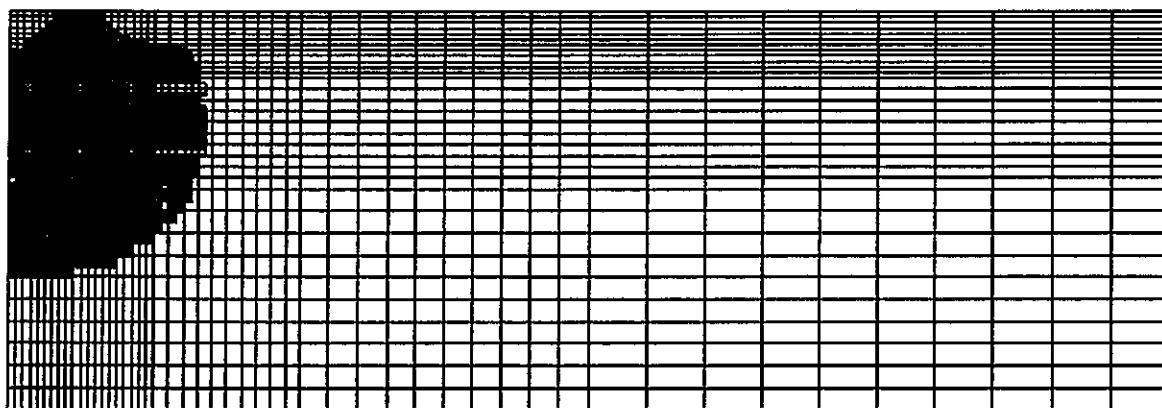
本文対応箇所 : 4.3 支持力解析における解析精度

解析モデル : 図-4.15, 表-4.4, 表-4.5

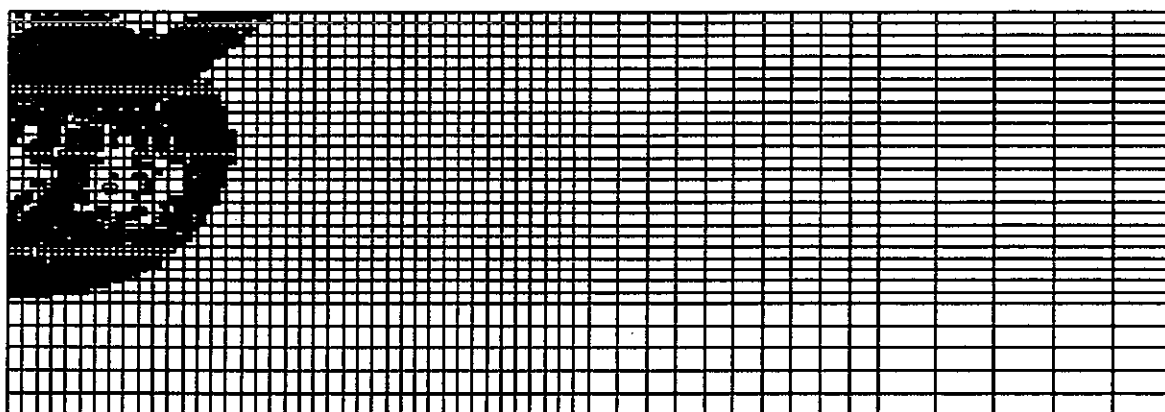
解析ケース : , ex43-Nc1, ex43-Nc2, ex43-Nc3, ex43-Nc4, ex43-Nc5, ex43-Nc6



(a) メッシュ分割 : Level-1, $N_c=5.25$

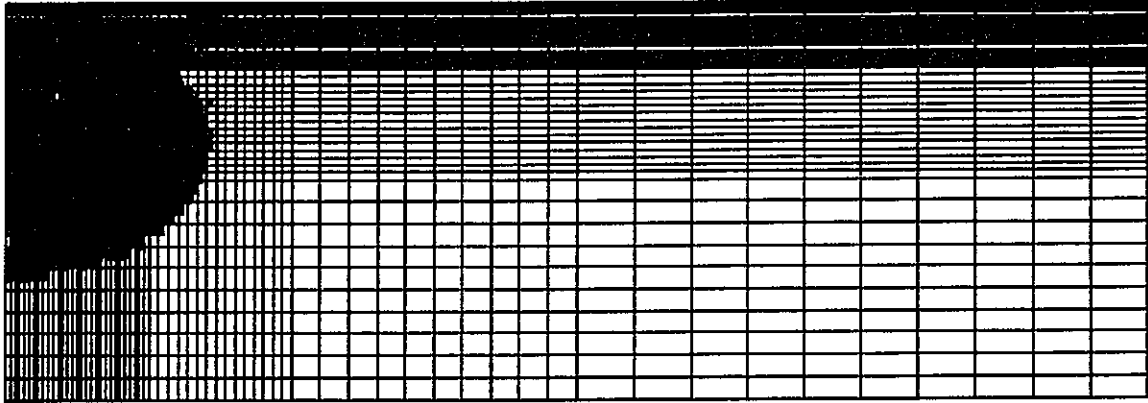


(b) メッシュ分割 : Level-2, $N_c=5.10$

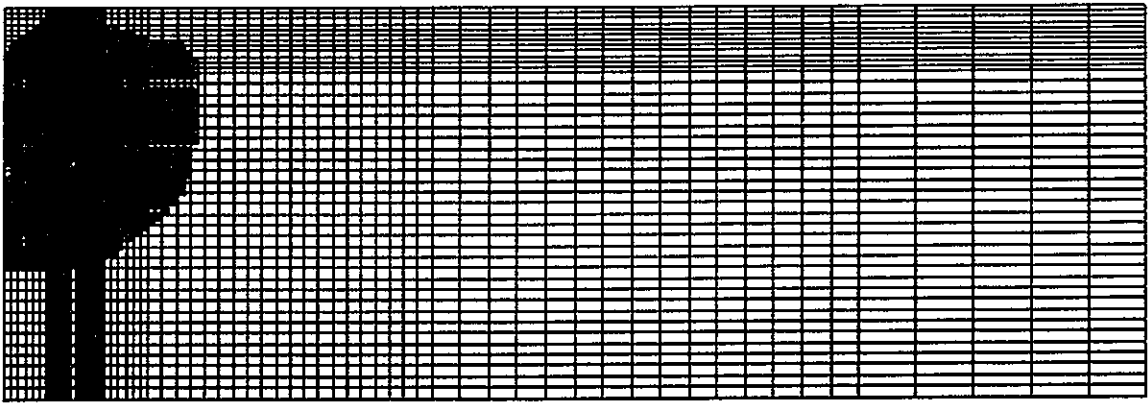


(c) メッシュ分割 : Level-3, $N_c=5.24$

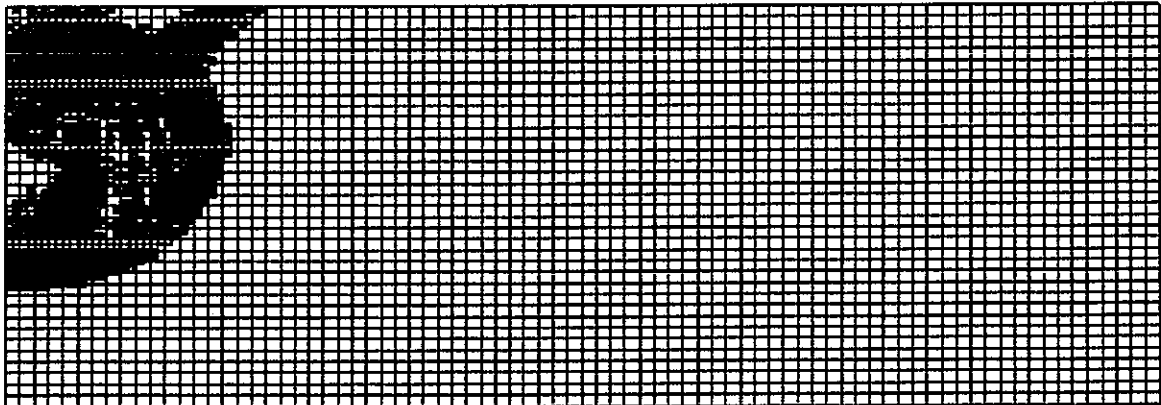
付録図-A5.1 極限時の塑性化領域



(d) メッシュ分割 : Level-4, $N_c=5.18$



(e) メッシュ分割 : Level-5, $N_c=5.10$



(f) メッシュ分割 : Level-6, $N_c=5.24$

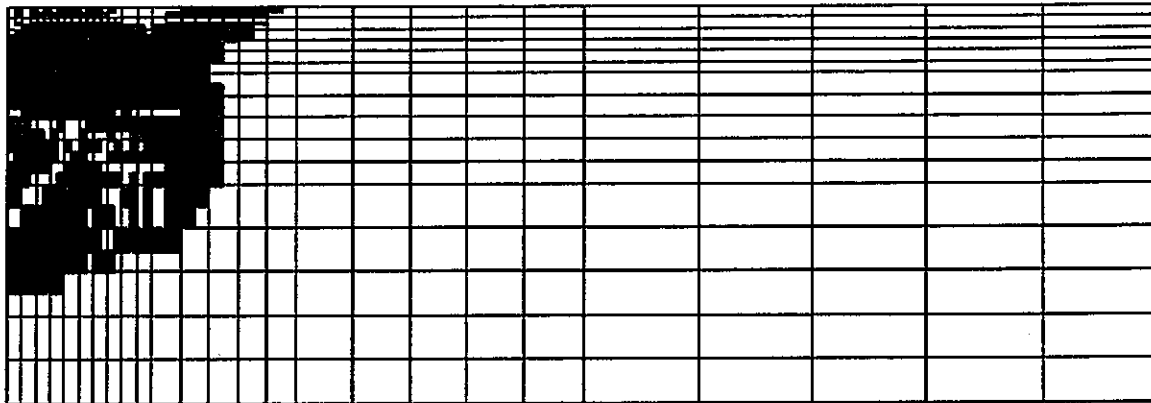
付録図-A5.1 極限時の塑性化領域

付録 A6 支持力係数 N_c 算定モデルの塑性化領域図 (特異点処理による比較)

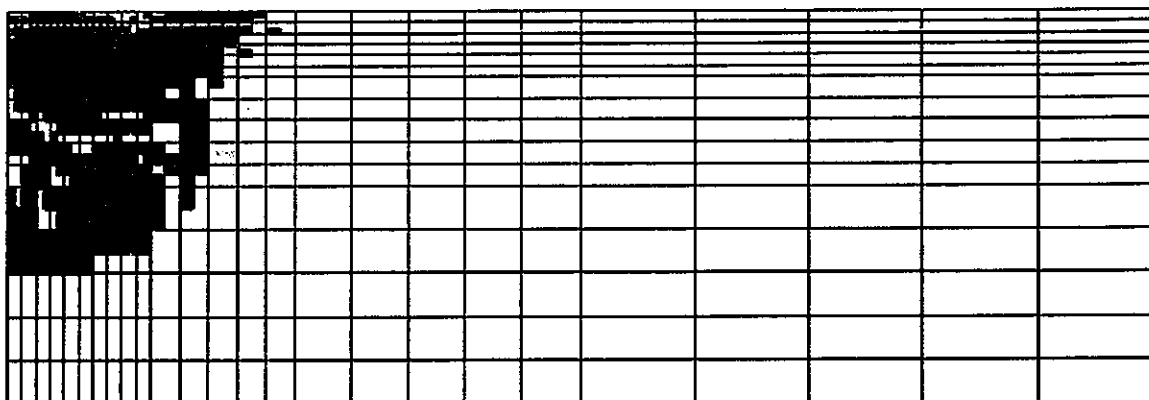
本文対応箇所 : 4.3 支持力解析における解析精度の検証(2)

解析モデル : 図-4.15, 図-4.17, 表-4.4, 表-4.5

解析ケース : , ex43-Nc1b, ex43-Nc3b, ex43-Nc5b

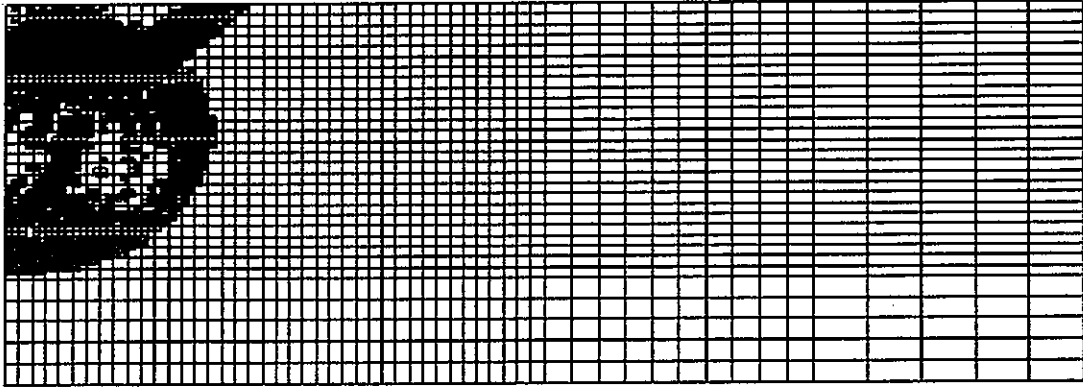


(a) メッシュ分割 : Level-1 (特異点処理なし), $N_c=5.25$

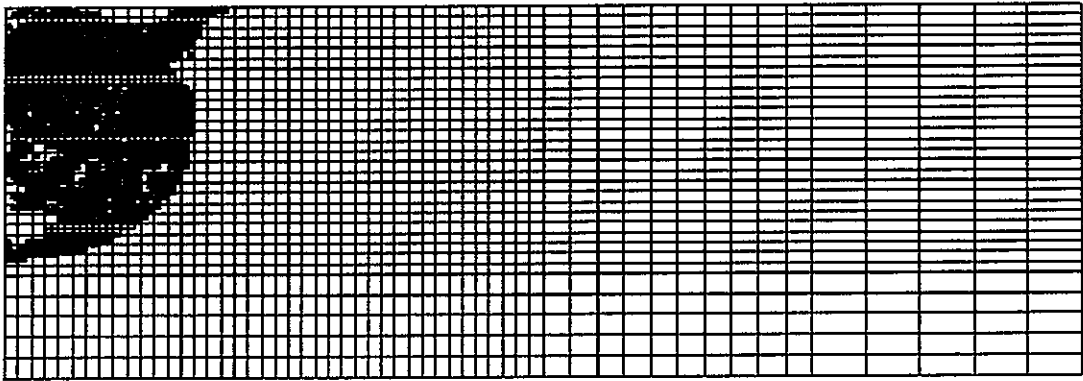


(b) メッシュ分割 : Level-1 (特異点処理あり), $N_c=5.18$

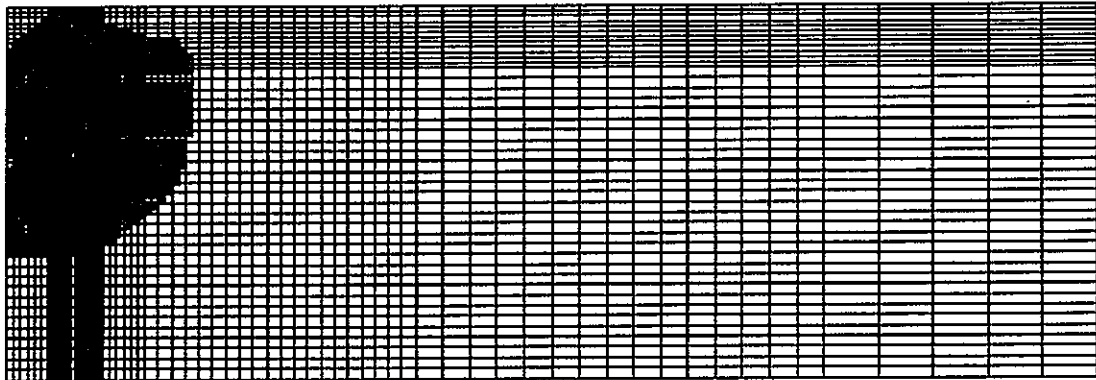
付録図-A6.1 極限時の塑性化領域



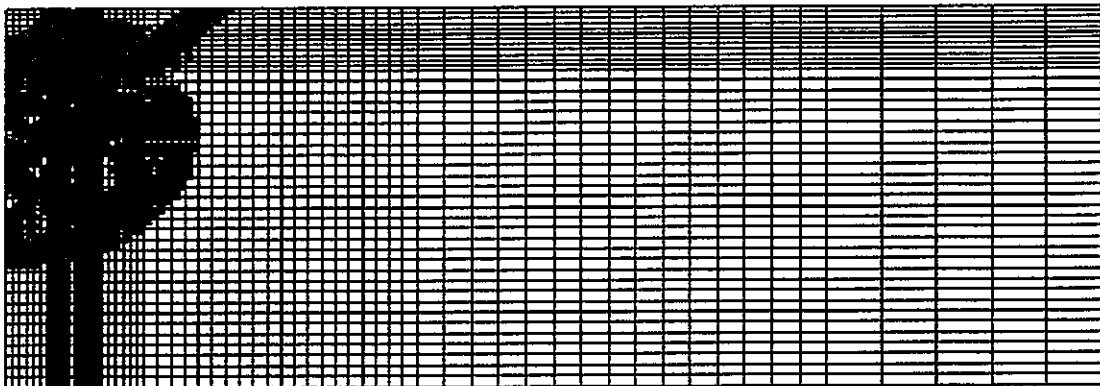
(c) メッシュ分割 : Level-3 (特異点処理なし), $N_e=5.24$



(d) メッシュ分割 : Level-3 (特異点処理あり), $N_e=5.16$



(e) メッシュ分割 : Level-5 (特異点処理なし), $N_e=5.10$



(f) メッシュ分割 : Level-5 (特異点処理あり), $N_e=5.16$

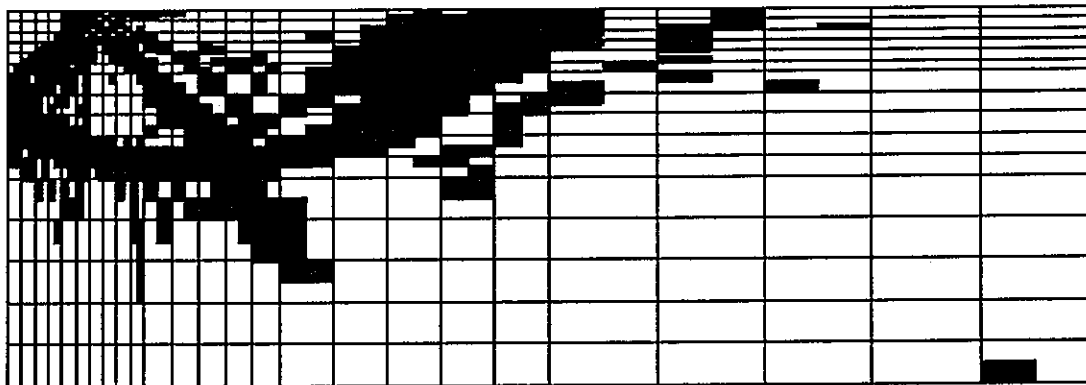
付録図-A6.1 極限時の塑性化領域

付録 A7 支持力係数 N_q 算定モデルの塑性化領域図(メッシュ分割と弾性係数による比較)

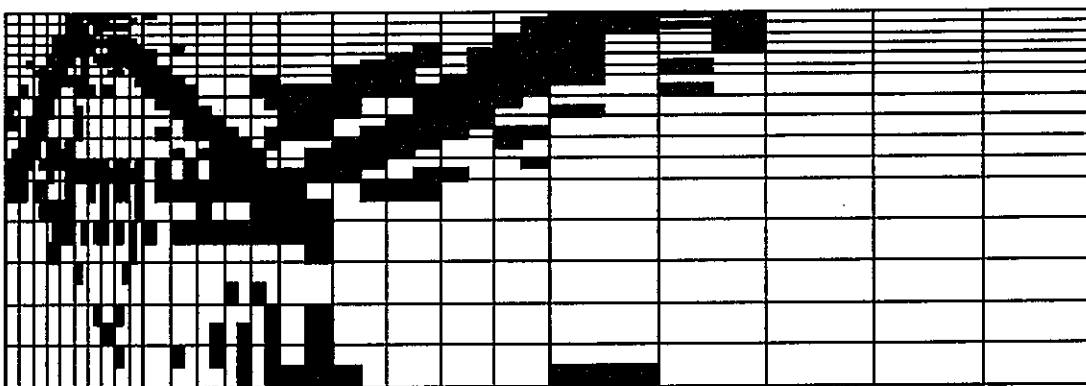
本文対応箇所 : 4.3 支持力解析における解析精度

解析モデル : 図-4.15, 表-4.8, 表-4.9

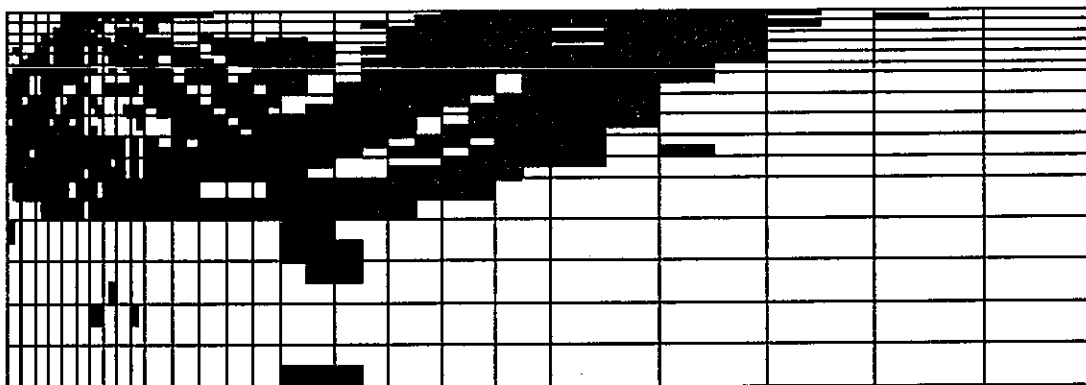
解析ケース : , ex43-Nq1a, ex43-Nq1b, ex43-Nq1c



(a) $E_s=4,000 \text{ tf/m}^2$, $N_q=45.0$



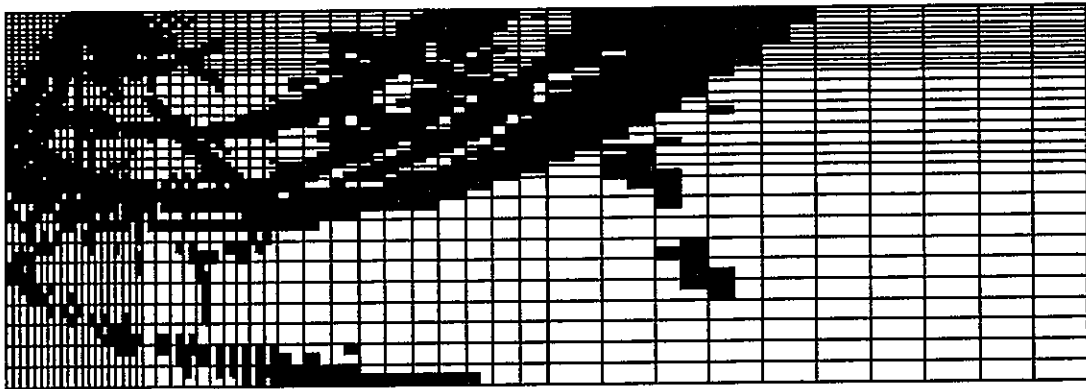
(b) $E_s=20,000 \text{ tf/m}^2$, $N_q=39.0$



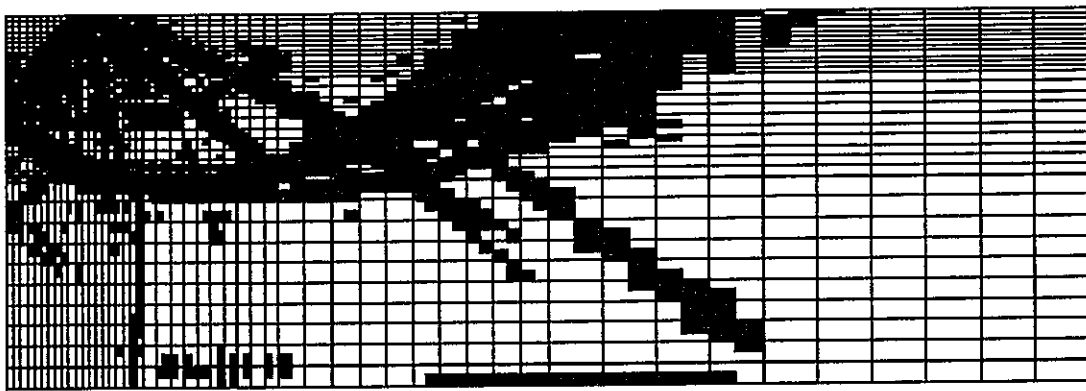
(c) $E_s=40,000 \text{ tf/m}^2$, $N_q=44.3$

付録図-A7.1 極限時の塑性化領域 (メッシュ分割 : Level-1)

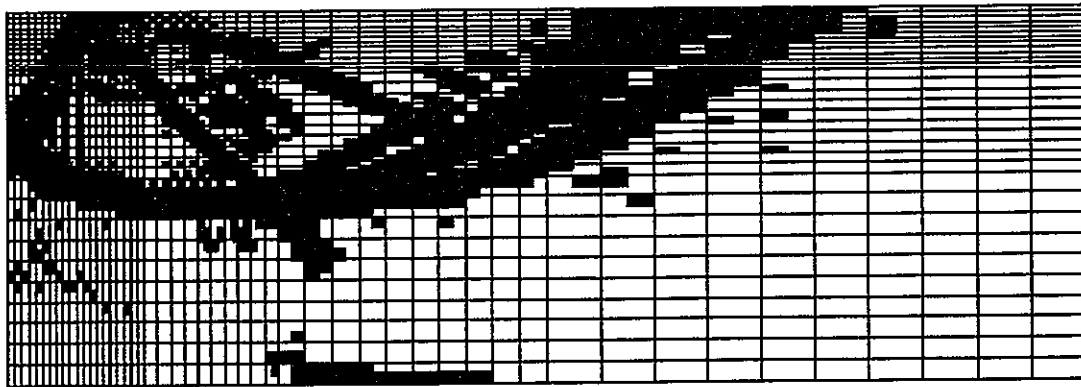
解析ケース : , ex43-Nq2a, ex43-Nq2b, ex43-Nq2c



(a) $E_s=4,000 \text{ tf/m}^2$, $N_q=39.0$



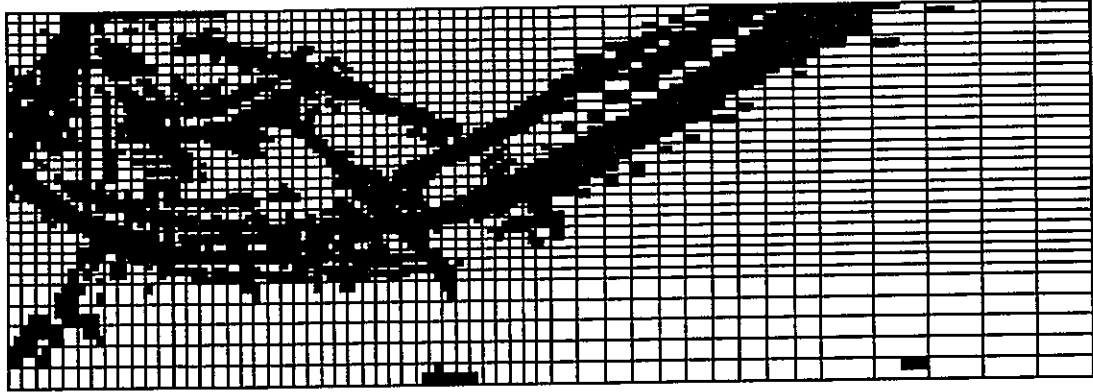
(b) $E_s=20,000 \text{ tf/m}^2$, $N_q=43.5$



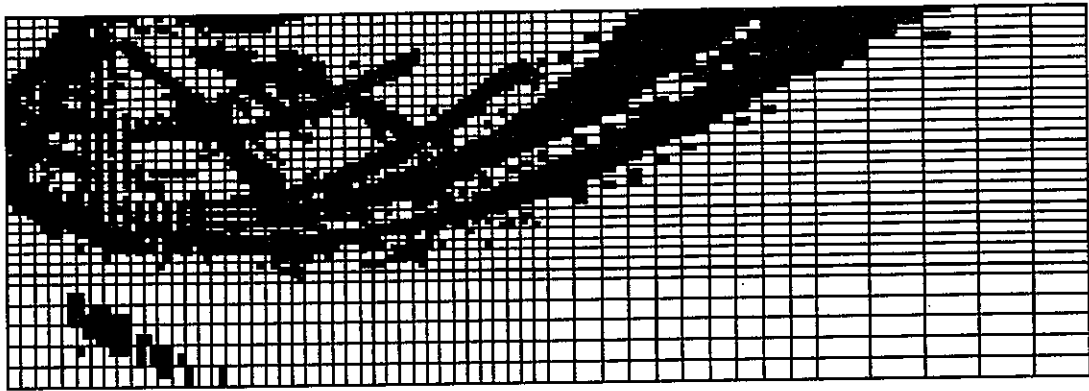
(c) $E_s=40,000 \text{ tf/m}^2$, $N_q=45.0$

付録図-A7.2 極限時の塑性化領域 (メッシュ分割 : Level-2)

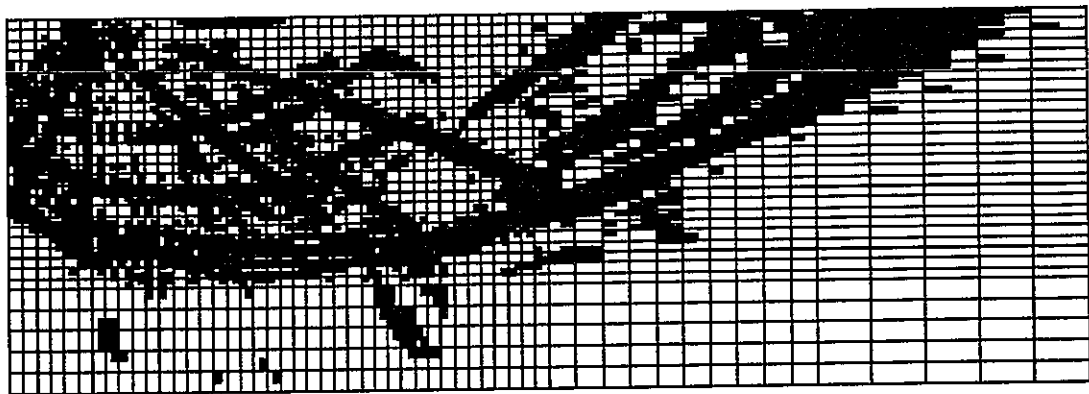
解析ケース : , ex43-Nq3a, ex43-Nq3b, ex43-Nq3c



(a) $E_s=4,000 \text{ tf/m}^2$, $N_q=39.0$



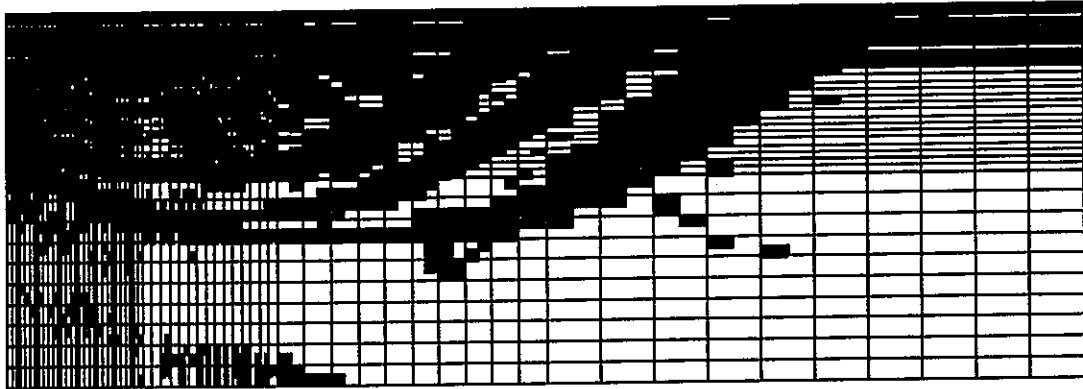
(b) $E_s=20,000 \text{ tf/m}^2$, $N_q=39.0$



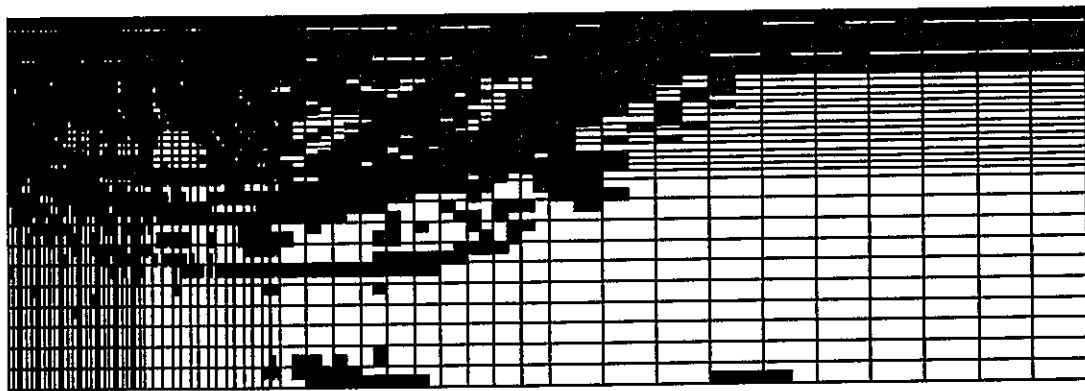
(c) $E_s=40,000 \text{ tf/m}^2$, $N_q=39.0$

付録図-A7.3 極限時の塑性化領域 (メッシュ分割 : Level-3)

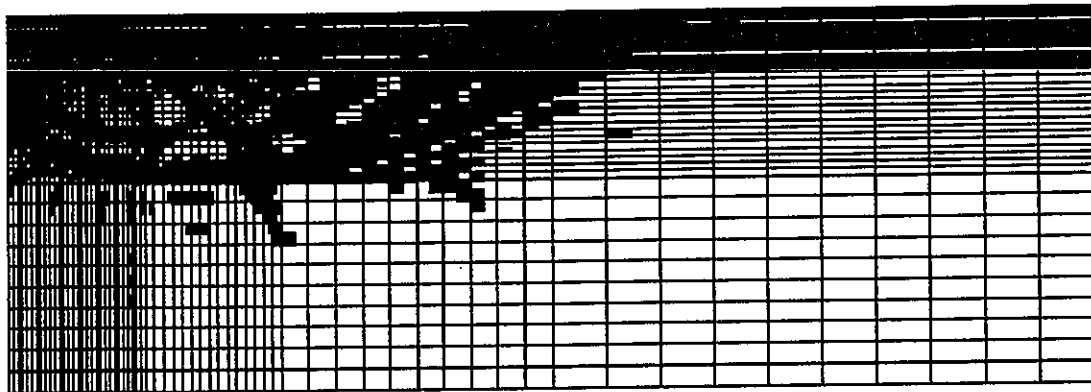
解析ケース : , ex43-Nq4a, ex43-Nq4b, ex43-Nq4c



(a) $E_s=4,000 \text{ tf/m}^2$, $N_q=40.5$



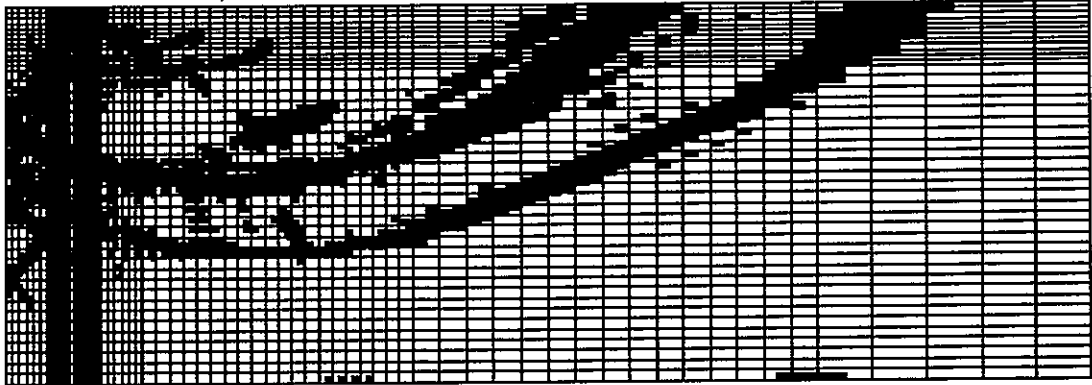
(b) $E_s=20,000 \text{ tf/m}^2$, $N_q=38.3$



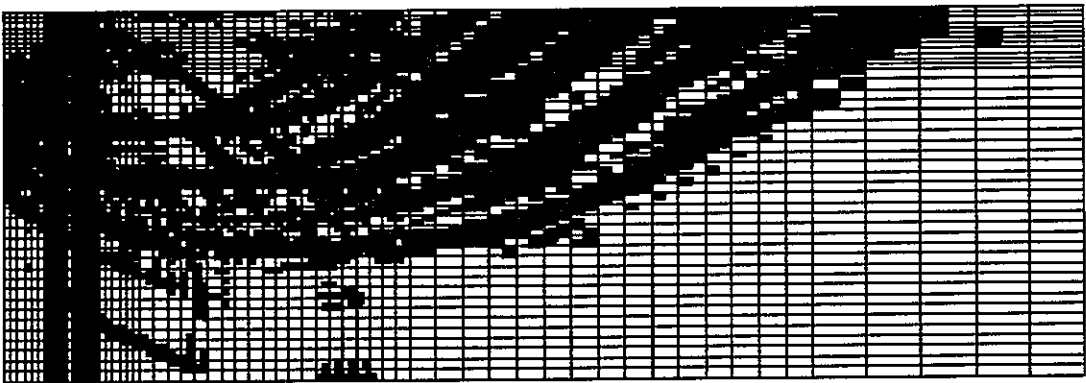
(c) $E_s=40,000 \text{ tf/m}^2$, $N_q=37.5$

付録図-A7.4 極限時の塑性化領域 (メッシュ分割 : Level-4)

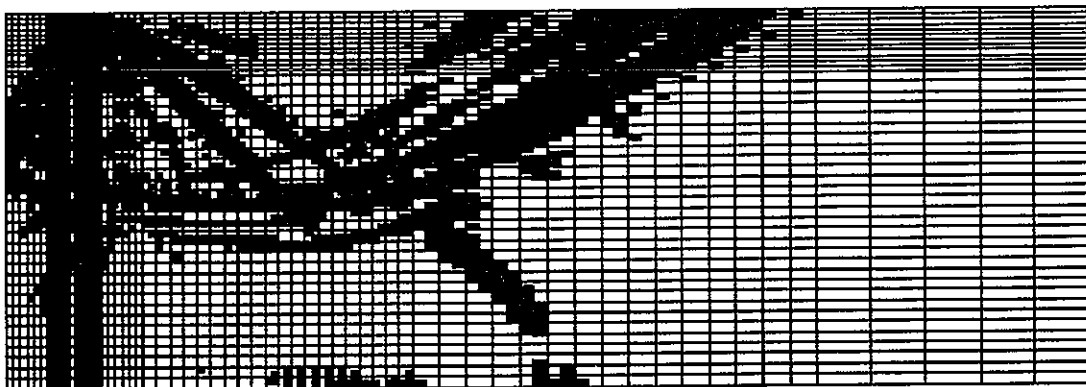
解析ケース : , ex43-Nq5a, ex43-Nq5b, ex43-Nq5c



(a) $E_s=4,000 \text{ tf/m}^2$, $N_q=37.5$



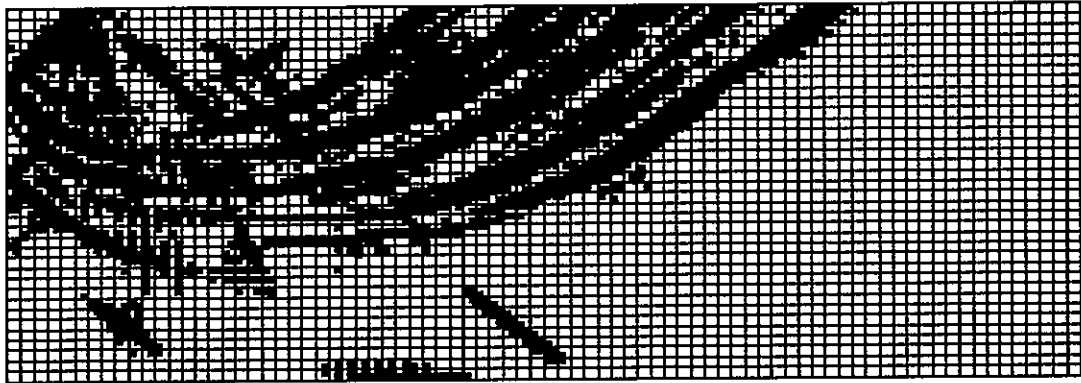
(b) $E_s=20,000 \text{ tf/m}^2$, $N_q=38.3$



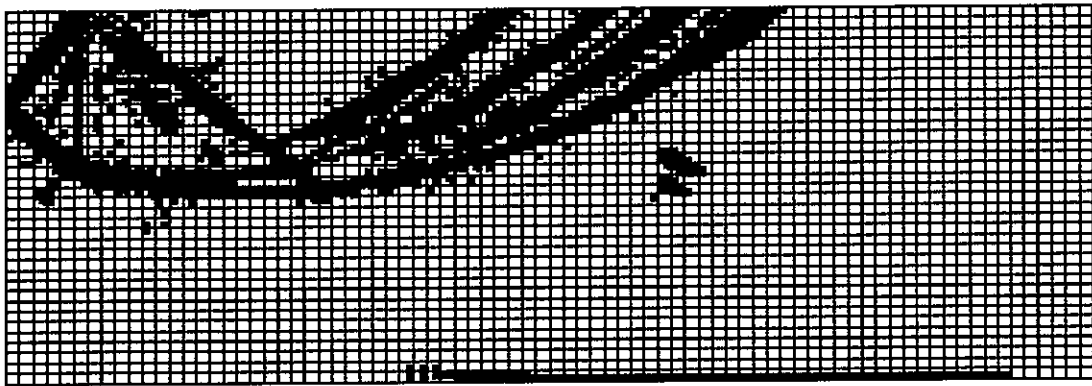
(c) $E_s=40,000 \text{ tf/m}^2$, $N_q=38.3$

付録図-A7.5 極限時の塑性化領域 (メッシュ分割 : Level-5)

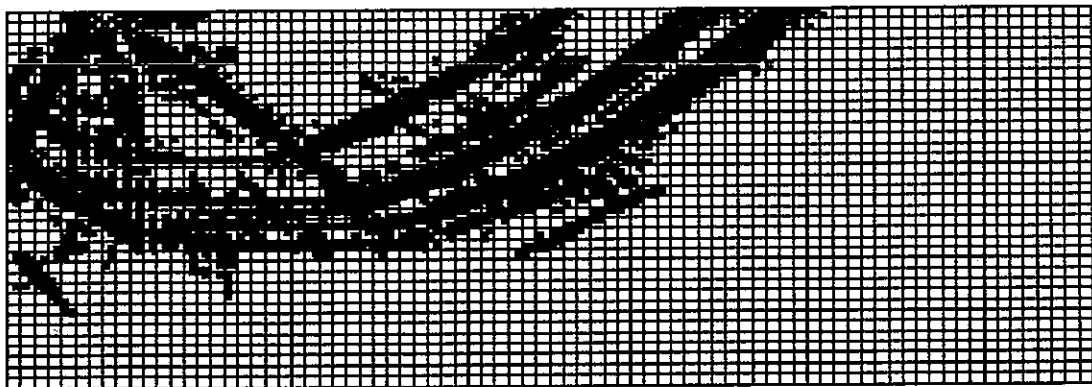
解析ケース : ex43-Nq6a, ex43-Nq6b, ex43-Nq6c



(a) $E_s=4,000 \text{ tf/m}^2$, $N_q=39.0$



(b) $E_s=20,000 \text{ tf/m}^2$, $N_q=34.5$



(c) $E_s=40,000 \text{ tf/m}^2$, $N_q=37.5$

付録図-A7.6 極限時の塑性化領域 (メッシュ分割 : Level-6)